

# تعیین هویت سیستمی تغییرات قیمت نفت در سازمان اوپک با استفاده از تبدیل فوریه و توابع چگالی طیفی در تحلیل سری‌های زمانی

دکتر نظام الدین فقیه<sup>۱</sup> و کورش اسماعیل نژاد<sup>۲</sup>

## چکیده مقاله

نفت خام عمده‌ترین منبع درآمد کشور را تشکیل می‌دهد و علی‌رغم تلاش‌های صورت گرفته در سالیان اخیر جهت کاهش وابستگی به این ماده حیاتی، راه زیادی تا تحقق این مهم باقی مانده است. بنابراین تجزیه و تحلیل‌های دقیق و علمی در مورد مسایل مربوط به نفت همچنان ضروری به نظر می‌رسد. هدف این تحقیق نیز، تجزیه و تحلیل نوسانات بهای نفت خام سازمان اوپک با استفاده از روش‌های نوین سری زمانی و تعیین هویت سیستمی، مانند توابع خود همبستگی، چگالی طیفی، همبستگی متقابل و همچنین تابع انتقال می‌باشد. به این منظور در مرحله شناسایی از توابع خود همبستگی و خود همبستگی جزیی استفاده می‌شود،

---

۱- عضو هیئت علمی دانشگاه شیراز  
۲- کارشناس ارشد دانشگاه شیراز

سپس در مرحله تخمین، با بهره‌گیری از روش کمترین مربعات خطی، ضرایب مدل تعیین و نیز با استفاده از آزمون کای - دو ماندها، شایستگی مدل اثبات می‌گردد. مضافاً، با انجام تجزیه و تحلیل طیف‌سنجدی مشخص می‌شود که تغییرات در بهای نفت خام سازمان اوپک ناشی از وجود جزء روند بوده و دوره‌های اصلی افزایش و کاهش قیمت نفت به ترتیب، هر ۱۰۸ هفته و هر ۷۸ هفته می‌باشد (برای هموارسازی تابع چگالی طیفی نیز از پنجره توکی - هامینگ استفاده شده است). آنگاه با استفاده از تابع همبستگی متقابل، پاسخ ضربه‌ای و تابع انتقال سیستمی، رابطه‌ای بین عرضه ماهانه و قیمت ماهانه نفت استخراج می‌شود. متعاقباً، با عملکرد اپراتور پسگرد بر روی تابع انتقال، رابطه‌ای برای پیش‌بینی قیمت نفت بر حسب مقدار عرضه بدست می‌آید که در آن قیمت نفت خروجی سیستم و مقدار عرضه نفت ورودی سیستم را تشکیل می‌دهد. در نهایت، برای نشان دادن برتری روش تابع انتقال نسبت به سایر روش‌های پیش‌بینی، از معیار جذر میانگین مجددات خطا استفاده می‌گردد.

## مقدمه

نفت به عنوان عمده‌ترین منبع درآمد، در اقتصاد کشور حائز اهمیت بسیار است. کافی است به نوسانات اقتصادی در کشور، در سال‌های اخیر، توجه شود تا تأثیر درآمد نفت به وضوح مشخص گردد. برای اقتصادی که تا حد بالایی متکی به درآمد نفت و ارز حاصل از آن است، تحولات نفتی بیش از هر چیز دیگری تأثیرگذار است. از آنجاکه همه چیز در عرصه قیمت‌گذاری، میزان مصرف و به تبع آن میزان فروش نفت در خارج از مرزهای ما شکل می‌گیرد، همواره بررسی وضعیت حال و آینده این ماده اقتصادی برای کشور اهمیت داشته است؛ بویژه تحلیل و پیش‌بینی‌های علمی و مستند شرایط آتی جهان، ضرورتی است که پیوسته سیاستگذاران نفتی کشور می‌بایست وسوس و دغدغه دستیابی به آن را داشته باشند. از سوی دیگر با توجه به عضویت ایران در سازمان کشورهای صادرکننده نفت (اوپک) به نظر می‌رسد که در مورد مسائل مربوط به نفت، دیدگاه‌های لازم را از طریق همین سازمان می‌توان ابراز نمود.

## ضرورت انجام تحقیق

اوپک در سال ۱۹۷۳ میلادی کنترل و قیمت‌گذاری نفت خام را تحت تأثیر دو عامل در دست گرفت: اولین عامل بی‌اعتمادی ناشی از وضعیت سیاسی و موقعیت جنگی خاورمیانه و دومین عامل وضعیت تقاضا و فقدان منابع دیگر غیر از اوپک برای پاسخگویی به تقاضا بود (۱). از آن تاریخ تاکنون مقدار تقاضا کاهش یافته و به نظر نمی‌رسد که با نرخ سابق افزایش یابد؛ همچنین رابطه بین نفت و رشد اقتصادی حداقل در کشورهای پیشرفته تضعیف شده است (۱). نکته دیگر اینکه می‌بایست بین مسایل فنی - اقتصادی نفت و نقش عامل سیاسی تمایز بگذاریم. در دهه ۱۹۷۰ میلادی پیش‌بینی‌های حاکی از افزایش قیمت نفت بر اساس عوامل زمین‌شناسی و تقاضا صورت گرفته بود و تهی شدن منابع نفتی در یک موعد مقرر و نه چندان دور یکی از نظرات متداول بود. در حالی که همزمان پیش‌بینی می‌شد، تقاضا برای نفت هر چند کندتر از گذشته رو به افزایش باشد (۲).

نظر عموم تحلیل‌گران در دهه ۱۹۹۰ میلادی متفاوت بود. اساس این نظریه آن است که ذخایر نفتی تا اوایل قرن بیست و یکم پاسخگوی تقاضا خواهد بود و تکنولوژی در حال تأثیرگذاری بر هزینه تولید و بهبود بخشیدن بر میزان اکتشاف است. به علت ارتباط نزدیک قیمت نفت با عواملی مثل رشد اقتصادی، تداوم سیاست‌های صرفه‌جویی نفت و انرژی، کاهش سهم نفت در کل انرژی مصرفی جهان، سیاست‌های زیست محیطی برای کاهش آلودگی و بسیاری عوامل غیر قابل پیش‌بینی دیگر، به نظر می‌رسد که یک پیش‌بینی دقیق از قیمت‌های نفت بویژه در میان مدت برای برنامه‌ریزان اقتصادی کشور ممکن نباشد، بلکه می‌توان حدود قیمت را تخمین زد. به عنوان مثال در برنامه پنجساله دوم اقتصادی کشور متوسط قیمت جهانی نفت بین ۱۳ تا ۱۷ دلار در نظر گرفته شده است ولی با توجه به اتكای شدید کشورهای اوپک به درآمد نفت، چنانچه همین حدود هم صحیح باشد، طبق نظر تحلیل‌گران، کاهش یا افزایش هر دلار قیمت در هر بشکه نفت باعث کاهش یا افزایش حدود یک میلیارد دلار درآمد ماهانه کشورهای عضو می‌باشد که در صورت نوسانات مکرر قیمت نفت رقم عظیمی را تشکیل می‌دهد که به نوبه خود می‌تواند در برنامه‌های مربوط به تنظیم بودجه و رشد اقتصادی تأثیر بگذارد (۳). از سوی دیگر برای انجام یک پیش‌بینی دقیق قیمت

باید تعداد بسیار زیادی از متغیرهای مربوطه انتخاب شود که در مورد کشورهای عضو اوپک با توجه به نقش تعیین کننده نفت علاوه بر متغیرهای اقتصادی، متغیرهای سیاسی، اجتماعی و ... نیز بایستی لحاظ شود. بنابراین پیش‌بینی قیمت‌های نفت به علت محدودیت‌هایی که بر شمرده شد چندان معقول نمی‌نماید، بلکه بهترین راه، برخورد سیستمی با تغییرات و نوسانات قیمت نفت است. کاربرد سری‌های زمانی و مباحث مربوط به آن، این امکان را فراهم می‌کند که با استفاده از فقط یک متغیر (قیمت نفت) تغییرات لازم مورد بررسی قرار گیرد. مضافاً، شایان توجه است که تاکنون تحقیقی در مورد تغییرات قیمت نفت اوپک با استفاده از سری‌های زمانی انجام نشده است.

## نحوه جمع آوری داده‌ها

هدف از این تحقیق، بررسی نوسانات مربوط به بهای سبد نفت سازمان اوپک می‌باشد. در این تحقیق از سه دسته داده استفاده شده است:

۱ - میانگین هفتگی بهای نفت سازمان اوپک که از طریق بولتن اقتصادی خبرگزاری جمهوری اسلامی و نشریه داخلی سازمان اوپک از ماه ژانویه ۱۹۹۰ تا ماه مارس ۱۹۹۸ جمع‌آوری گردیده است (۴)، (۵).

۲ - میانگین ماهانه بهای نفت سازمان اوپک در فاصله ۱۹۹۰ - ۱۹۹۸ میلادی که از طریق دو منبع قبل جمع‌آوری گردیده است.

۳ - تولید نفت کشورهای عضو که بر اساس اعلام منابع ثانویه مانند مؤسسات تحقیقاتی از جمله دو سازمان مشهور در این زمینه، آرگوس (۶) و پلات (۷)، جمع‌آوری شده است. علت این امر غیرواقعی بودن ارقام اعلام شده توسط کشورهای عضو برای اثبات پایبندی خود به سهمیه‌های تعیینی است.

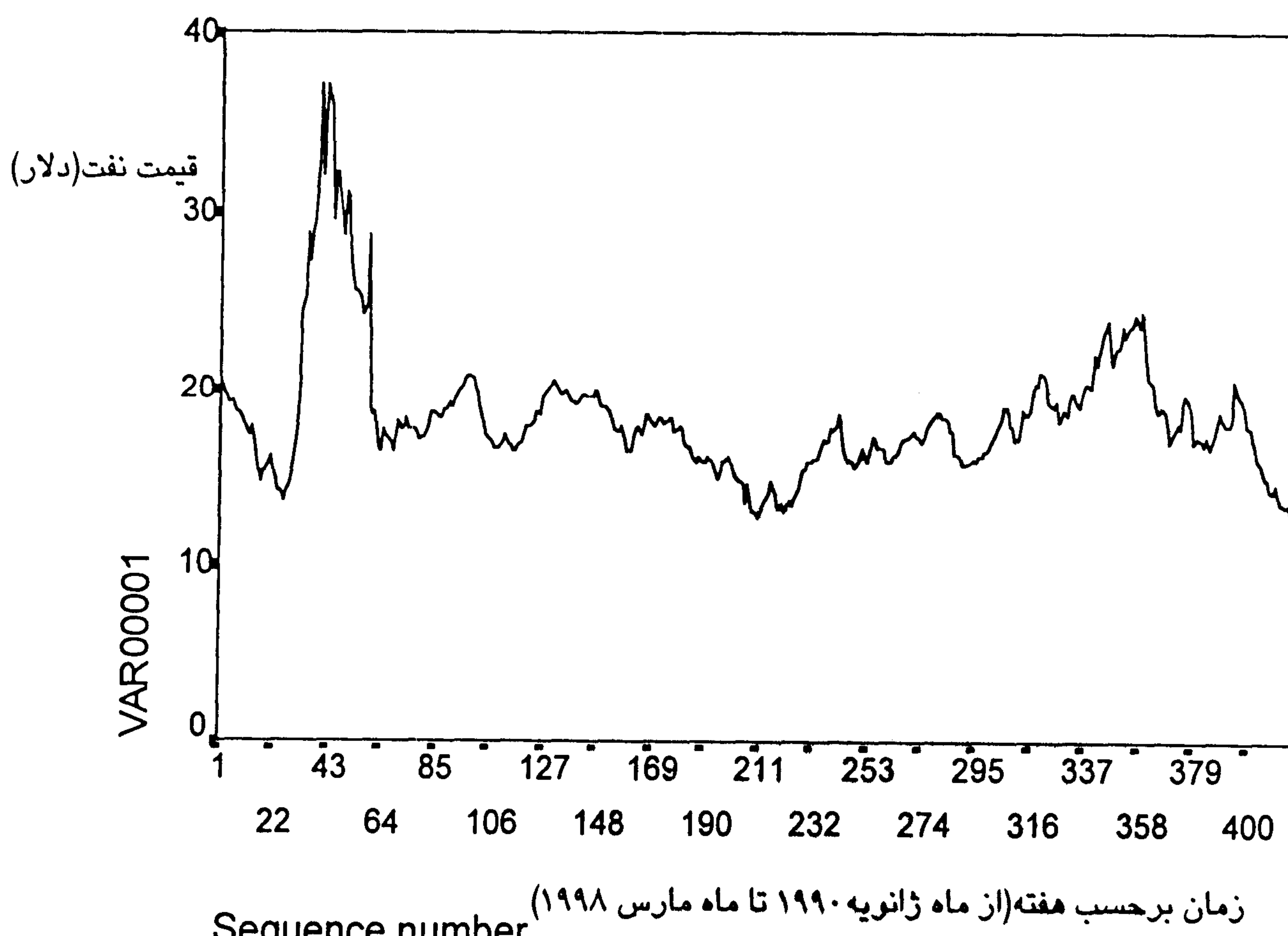
نهایتاً، در این تحقیق سعی گردیده است که با استفاده از روش‌های نوین تحلیل طیفی و تابع خود همبستگی به بررسی، تعیین و مدل‌بندی نوسانات قیمت نفت پرداخته شود.

## مدل‌بندی تغییرات موجود در بهای نفت خام

داده‌های این بخش از تحقیق مربوط به بهای سبد نفت اوپک می‌باشد که از ژانویه ۱۹۹۰ تا مارس ۱۹۹۸ میلادی به صورت هفتگی جمع‌آوری شده است و در مجموع حدود ۴۲۰ مشاهده را در بر می‌گیرد. مراحل مشاهده و بررسی به شرح زیر است:

### تعیین هویت سری زمانی

ابتدا باید مشخص شود که آیا داده‌های جمع‌آوری شده ایستا یا نایستا هستند. نمودار تغییرات قیمت نفت در شکل شماره ۱ رسم شده است.

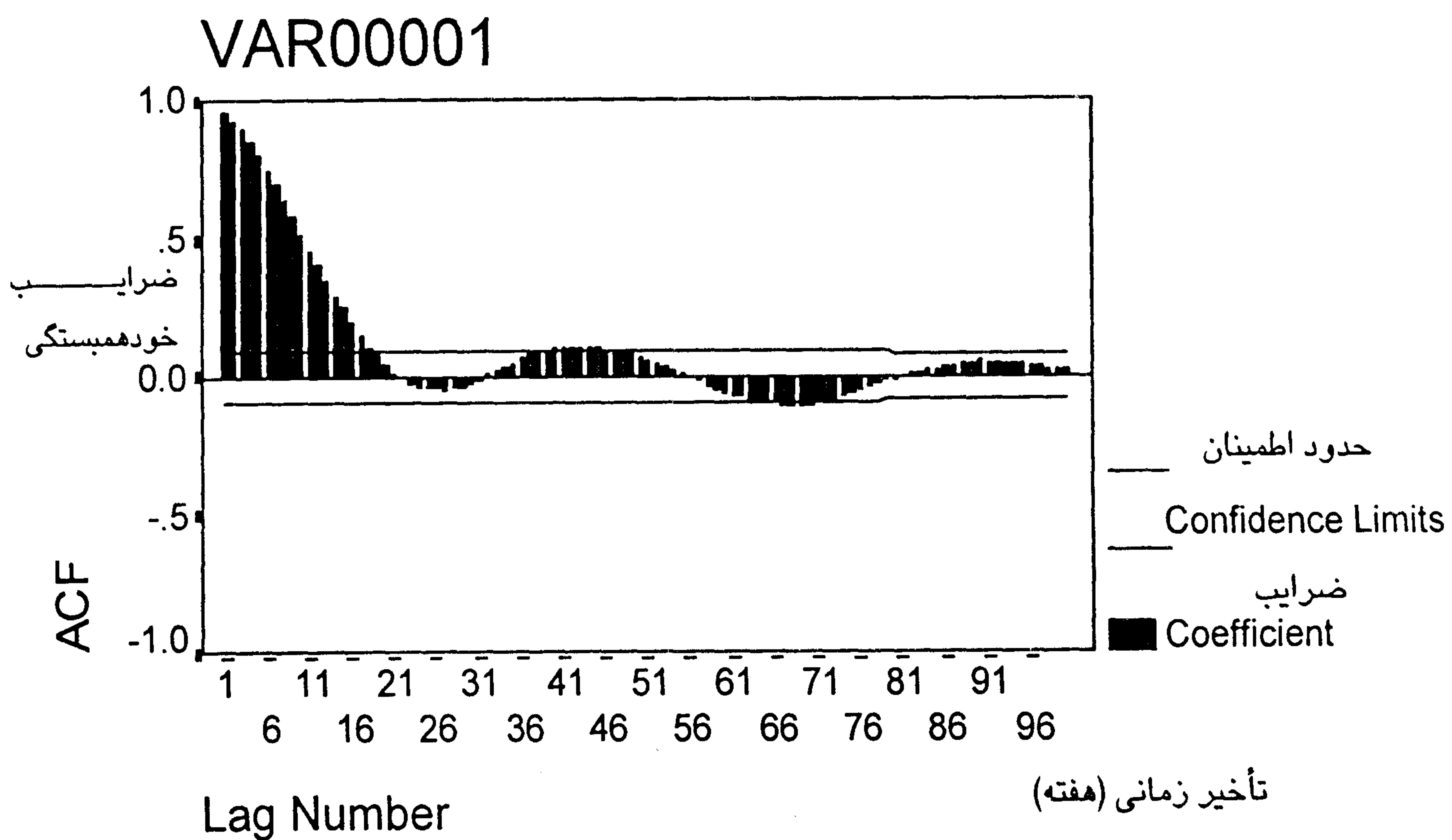


شکل شماره ۱ - تغییرات میانگین هفتگی بهای نفت خام اوپک

از شکل شماره ۱ ملاحظه می‌گردد که این داده‌ها، هم از نظر شیب و هم از نظر میانگین

تغییر می‌کنند. بنابراین احتمال نایستا بودن مطرح می‌شود. یکی از مهم‌ترین ابزارها در این مورد تابع خود همبستگی داده‌های نمونه می‌باشد که نمودار مذبور برای  $N/4 \leq K$  یعنی تأخیر حدود ۱۰۰ در شکل شماره ۲ رسم شده است؛ زیرا در تجزیه و تحلیل سری‌های زمانی متداول است که تابع خود همبستگی حداکثر در تأخیر  $K$  کوچکتر یا حداکثر برابر با  $\frac{1}{4}$  تعداد کل داده‌ها مورد ملاحظه قرار گیرد (۸).

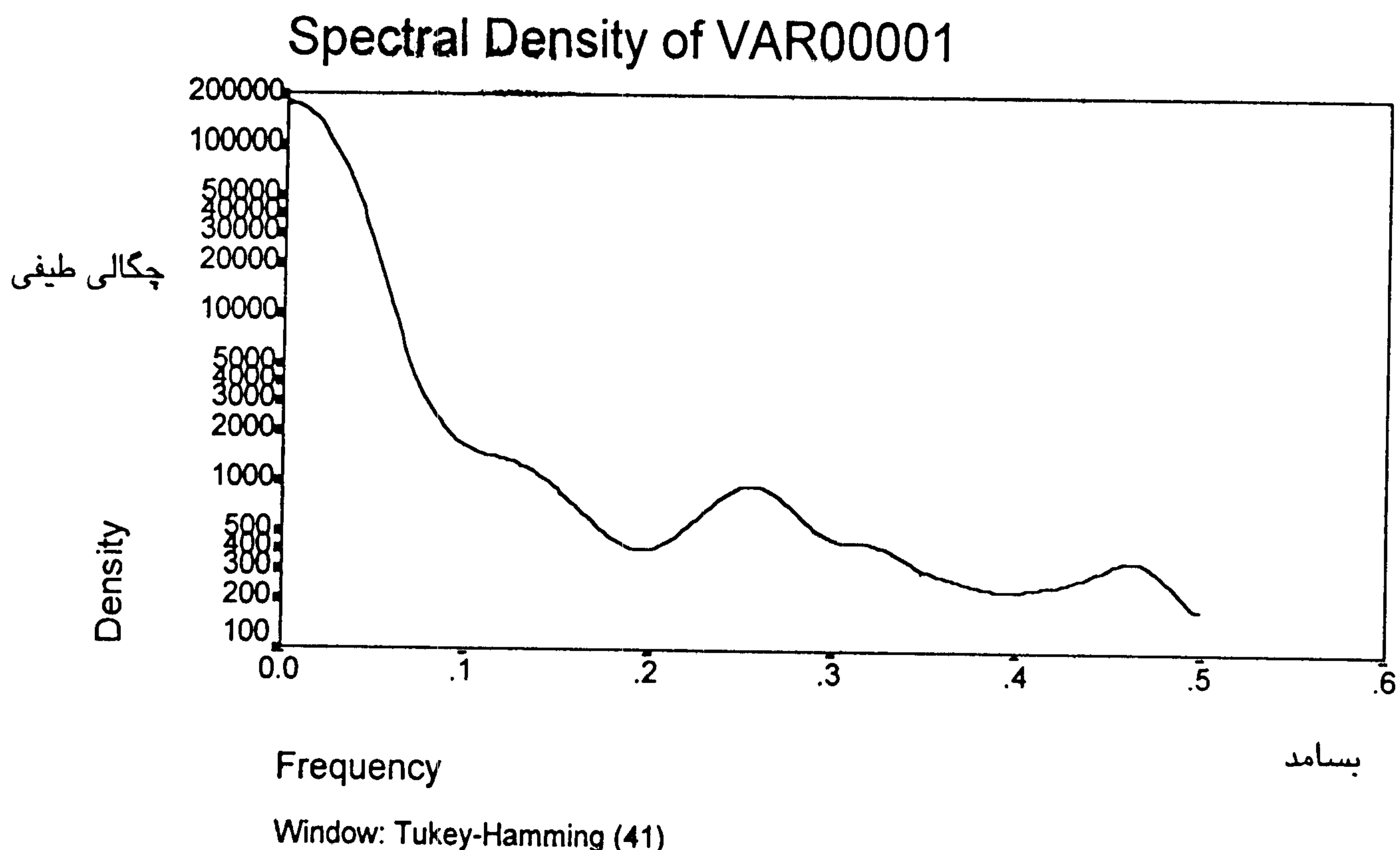
از شکل شماره ۲ کاملاً مشخص است که مقادیر خود همبستگی با سرعت بسیار اندک به سمت صفر میل می‌کنند و در نوسان هستند، بنابراین فرض ایستا بودن داده‌ها رد می‌شود و داده‌ها نایستا هستند (۸)، (۹).



شکل شماره ۲ - تابع خود همبستگی بهای نفت اوپک

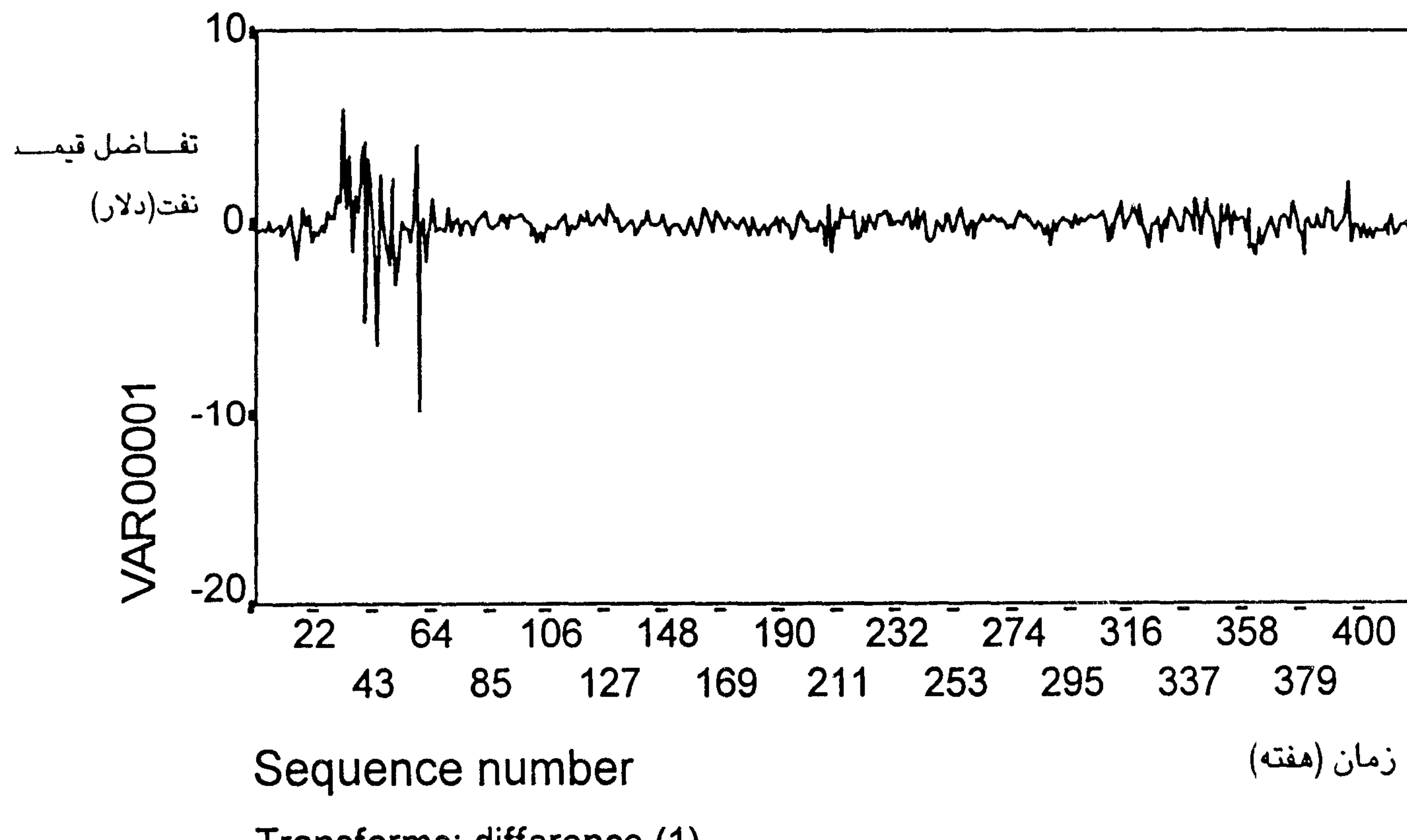
از سوی دیگر برای مشخص کردن اینکه علت نایستایی داده‌های فوق ناشی از تغییرات فصلی یا جزء روند می‌باشد، تابع چگالی طیفی، برای داده‌های خام با پنجره توکی  $M=41$  در شکل شماره ۳ رسم شده است، چون فقط هدف مشخص کردن نوع سری زمانی است میزان

M اهمیت چندانی ندارد و هر عددی انتخاب شود مشخص می‌کند که در فرکانس صفر تابع چگالی طیفی دارای یک ماکزیمم می‌باشد. بنابراین علت نایستایی وجود روند در داده‌ها می‌باشد (۸)، (۹)، (۱۰).



شکل شماره ۲ - تابع چگالی طیف داده‌های خام با پنجره توکی

برای از بین بردن جزء روند معمولاً می‌توان روش‌های مختلفی را به کار برد که در اینجا از تفاضل‌گیری سری اول استفاده شده است (۱۱). نمودار سری زمانی تفاضل اول در شکل شماره ۴ و تابع خود همبستگی تفاضل اول در شکل شماره ۵ رسم شده است. همچنانکه ملاحظه می‌شود پس از تفاضل‌گیری دامنه تغییرات تا حد زیادی کاهش یافته است و حول یک نقطه نوسان می‌کنند. از سوی دیگر تابع خود همبستگی تفاضل اول نشان می‌دهد که تابع به صورت سینوسی کاهش می‌پذیرد که خود علامت ایستا بودن است (۸)، (۱۱). بنابراین مشخص می‌شود که با تفاضل‌گیری مرتبه اول داده‌ها ایستا می‌شوند.



شکل شماره ۴ - تغیرات قیمت نفت پس از تفاضل‌گیری مرتبه اول

### تشخیص آزمایشی مدل سری زمانی

علاوه بر تابع خود همبستگی تفاضل اول، تابع خود همبستگی جزیی تفاضل اول در شکل شماره ۶ رسم شده است.

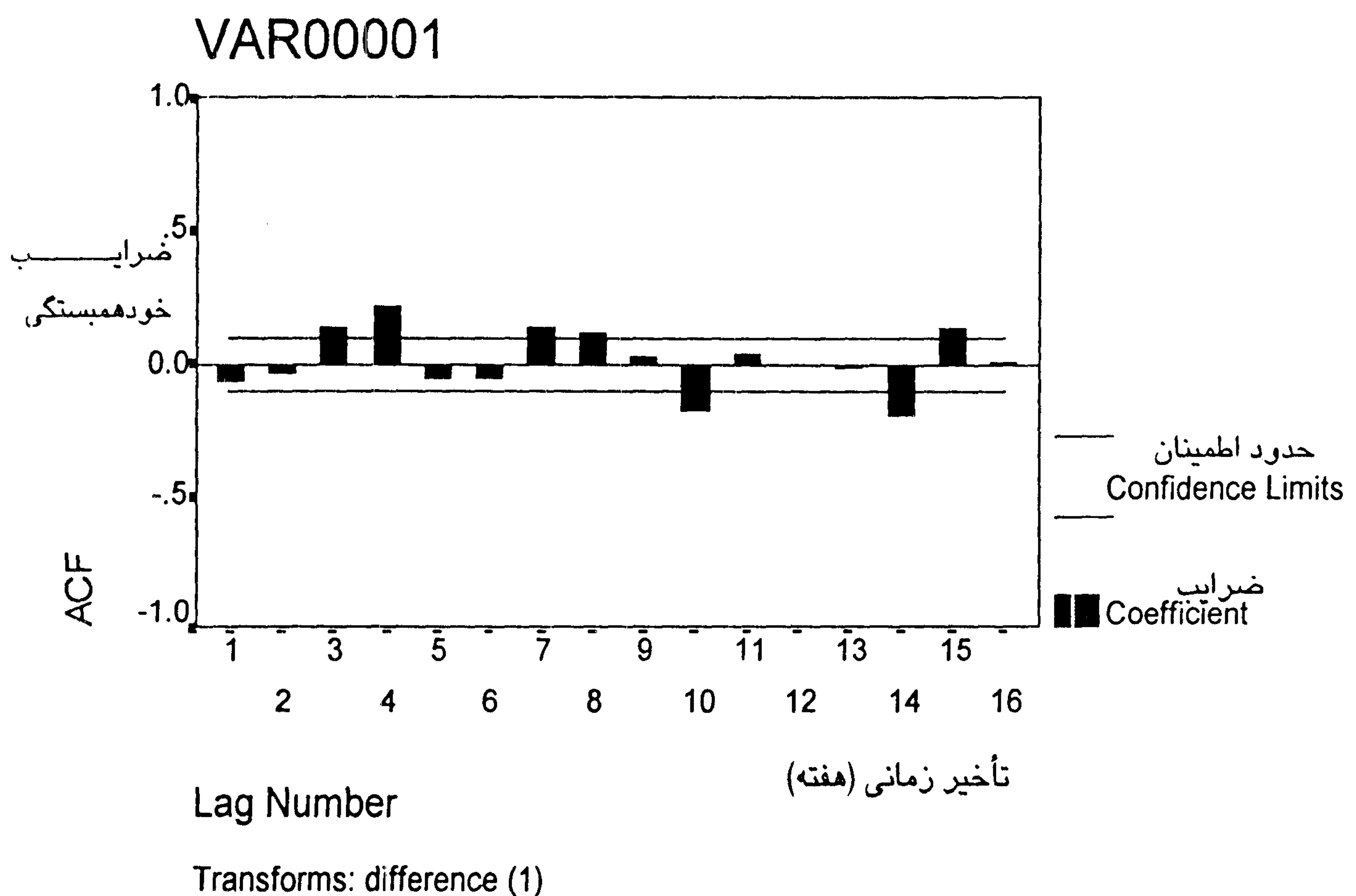
با ملاحظه این دو نمودار مشخص می‌شود که تابع خود همبستگی کاهش سینوسی دارد (۱۲)، (۱۳). در حالی که تابع خود همبستگی جزیی در تأخیر ۴ قطع می‌شود.

با توجه به الگوهای سری‌های زمانی مدل آزمایشی برای شروع کار، (۱۱)، (۱۲) می‌باشد. مدل را می‌توان به صورت زیر نوشت:

$$X_t = \xi + \phi_1 X_{t-1} + \phi_2 X_{t-2} + \phi_3 X_{t-3} + \phi_4 X_{t-4} + \epsilon_t$$

اکنون باید مشخص شود که آیا مدل احتیاج به مقدار ثابت دارد یا خیر؟

با مقایسه میانگین داده‌های تفاضل اول و داده‌های خام در جدول شماره ۱ مشخص می‌شود که میانگین نسبت به داده‌های اصلی بسیار کوچک است بنابراین احتمال نداشتن

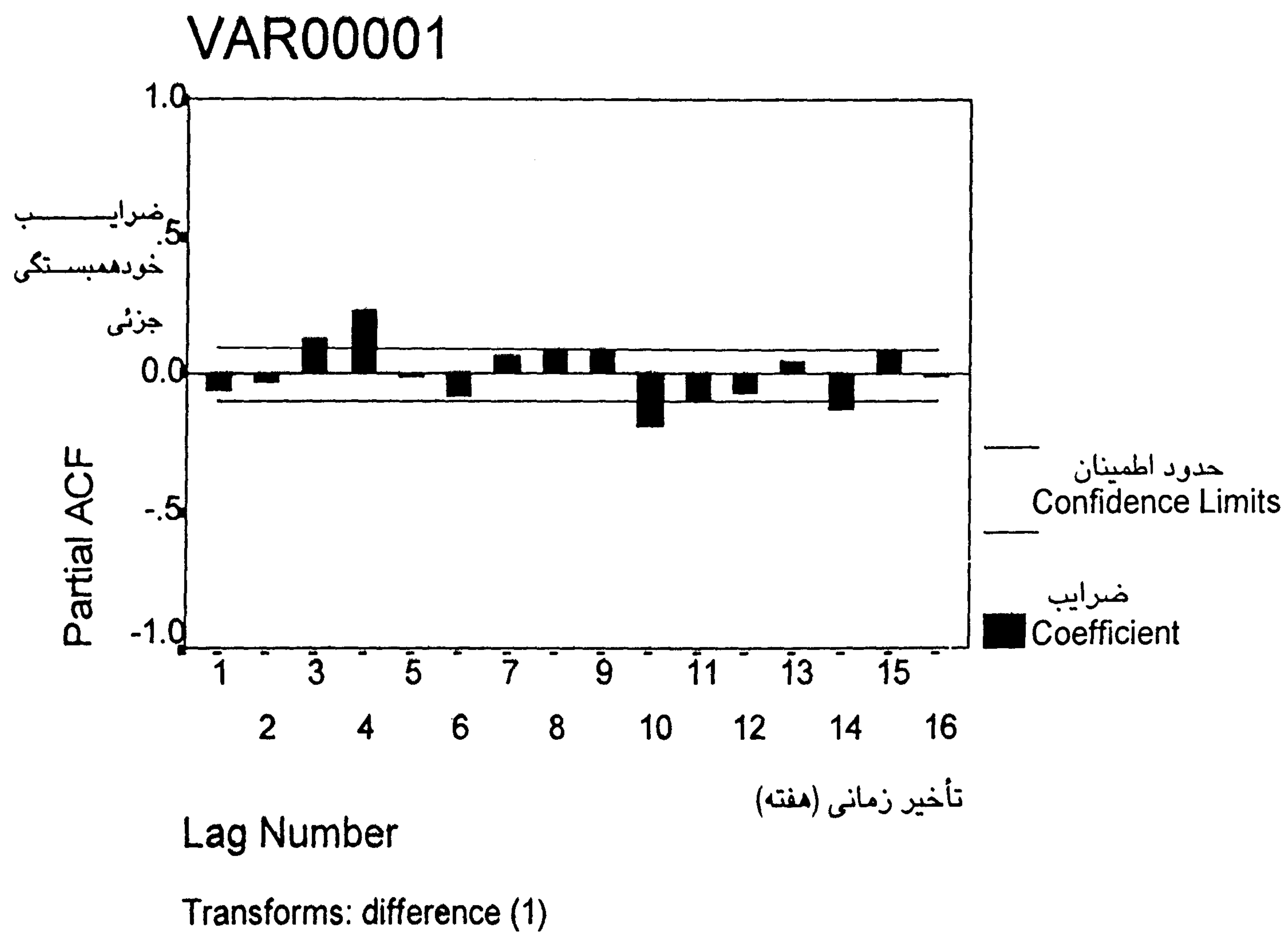


شکل شماره ۵ - تابع خود همبستگی تفاضل مرتبه اول

ضریب ثابت تقویت می شود. البته در مراحل بعد یعنی آزمون مدل، می توان داشتن مقدار ثابت را آزمایش نمود (۱۱)، (۱۲).

جدول شماره ۱ - میانگین داده های تفاضل مرتبه اول

Variable	Mean	Std Dev	Minimum	Maximum	N	Label
VAR000_1	-.02	1.00	-9.76	5.88	419	DIFF(VAR00001,1)



شکل شماره ۶ - تابع خود همبستگی جزئی قیمت‌های نفت پس از تغاضل‌گیری مرتبه اول

### تخمین

در این مرحله باید ضرایب مدل آزمایشی را تخمین بزنیم (۱۱)، (۱۲). ضرایب عبارتند از:  $\phi_1, \phi_2, \phi_3, \phi_4$ .

تخمین ضرایب مدل آزمایشی با استفاده از نرم‌افزار SPSS در (جدول شماره ۲) ارائه می‌گردد.

چنانکه ملاحظه می‌شود به جز ضریب  $\phi$  همگی معنی‌دار و از صفر متفاوت می‌باشند و احتمال داشتن چنین ضرایبی با توجه به احتمال تخمین زده شده بیش از ۹۵ درصد می‌باشد. ولی ضریب ثابت  $\alpha$  با احتمال ۶۹ درصد از صفر متفاوت نمی‌باشد و همچنانکه قبل این

احتمال داده می شد مدل احتیاجی به ضریب ثابت ندارد (۱۱)، (۱۲).

ضرایب عبارتند از:

$$\phi_4 = .2377, \phi_3 = .14979, \phi_2 = -.18079, \phi_1 = -.19045$$

و مدل به صورت

$$X_t = -.19045 X_{t-1} -.1807 X_{t-2} + .14979 X_{t-3} + .2377 X_{t-4} + \varepsilon_t$$

نکته مهمی که باید به آن توجه داشت اینکه تخمین های فوق تنها به عنوان تخمین های اولیه هستند و شایستگی آن از طریق آزمایش مدل حاصل می شود (۸)، (۱۱)، (۱۲).

جدول شماره ۲ - تخمین پارامترهای مدل ARIMA(4,1,0)

Variables in the Model:				
	B	SEB	T-RATIO	APPROX. PROB.
AR1	-.1904520	.04772759	-2.8951739	.04876596
AR2	-.1807985	.04741028	-2.3813488	.05031397
AR3	.1497961	.04744453	3.1572892	.00170893
AR4	.2377461	.04780209	4.9735513	.00000099
CONSTANT	-.0257539	.06505083	-.3959051	.69237876

ki-squar for 20 first residual equal to 32.251

## آزمایش مدل

برای معتبر بودن مدل، بایستی مانده ها  $\{\varepsilon_k\}$  تبدیل به فرایند نویه سفید شود یا به عبارت دیگر هیچ ساختار مشخصی نداشته باشد. از آنجا که امکان بررسی تک تک مانده ها وجود ندارد، از تست  $\chi^2$  استفاده می شود. آماره آزمون عبارتست از (۱۰)، (۱۱) :

$$Q = (N-d) \sum_{k=1}^K r_e^2(k)$$

$$= (100-1) \sum_{k=1}^{20} r_e^2(k) \\ = 32.25145 \quad (\text{طبق جدول شماره ۲})$$

از سوی دیگر درجه آزادی توزیع آماره در سری مانده‌ها  $k-p-q$  است و  $k$  و  $p$  و  $q$  به ترتیب با  $20, 4, 0$  می‌باشند. با توجه به اینکه برای آزمون، ۲۰ مانده اول در نظر گرفته می‌شود درجه آزادی (V) عبارتست از (۱۰)، (۱۱):

$$v = k - p - q = 20 - 4 - 0 = 16$$

از جدول توزیع آماره  $\chi^2$  معلوم می‌شود که:

$$\chi^2_{0.05,16} = 26.3$$

بنابراین آماره آزمون مربوط به مانده‌ها در داخل منطقه بحرانی قرار می‌گیرد و درستی آن رد می‌شود و در نتیجه مدل فوق از شایستگی کافی برخوردار نیست. در نتیجه باید ساختار دیگری را وارد مدل کرد و مجدداً آن را آزمون کرد و این مراحل را تا زمانی که شایسته‌ترین مدل بدست آید ادامه می‌دهیم (۱۰)، (۱۱):

فرض کنیم که مدل به جای ARIMA(4,1,0) به صورت ARIMA(3,1,0) باشد. با توجه به محاسبات انجام شده در جدول شماره ۳ مشخص می‌شود که تمامی ضرایب تخمین زده شده از صفر متفاوت و معنی‌دار می‌باشد و از سوی دیگر همچنانکه قبل اشاره شد احتیاجی به ضریب ثابت نیست (۸)، (۱۰)، (۱۱).

برای آزمون مدل خواهیم داشت:

$$Q = (N - d) \sum_{k=1}^K r_e^2(k)$$

$$= (100-1) \sum_{k=1}^{20} r_e^2(k)$$

$$= 26.43 \quad (\text{طبق جدول شماره } ۳)$$

از سوی دیگر داریم:

$$v = k - p - q = 20 - 3 - 0 = 17$$

$$\chi^2_{0.05,17} = 27.59$$

در نتیجه توزیع آماره مدل فوق در دمتابع توزیع و خارج از منطقه بحرانی قرار می‌گیرد بنابراین دلیلی برای رد مدل وجود ندارد و نوسانات بهای نفت باید به صورت

ARIMA(3,1,0) مدل بندی شود (۸)، (۹)، (۱۰).

جدول شماره ۳ - تخمین پارامترهای مدل ARIMA(3,1,0)

	B	SEB	T-RATIO	APPROX. PROB.	
AR1	-.35803953	.04865796	-2.1928065	.05233626	
AR2	-.22433264	.04878229	-2.4988008	.04881837	
AR3	.13509552	.04873299	2.7721576	.00581906	
CONSTANT	-.02287546	.05110819	-.4475889	.65468317	ki-
squar for 20 first residual equal to 26.43					

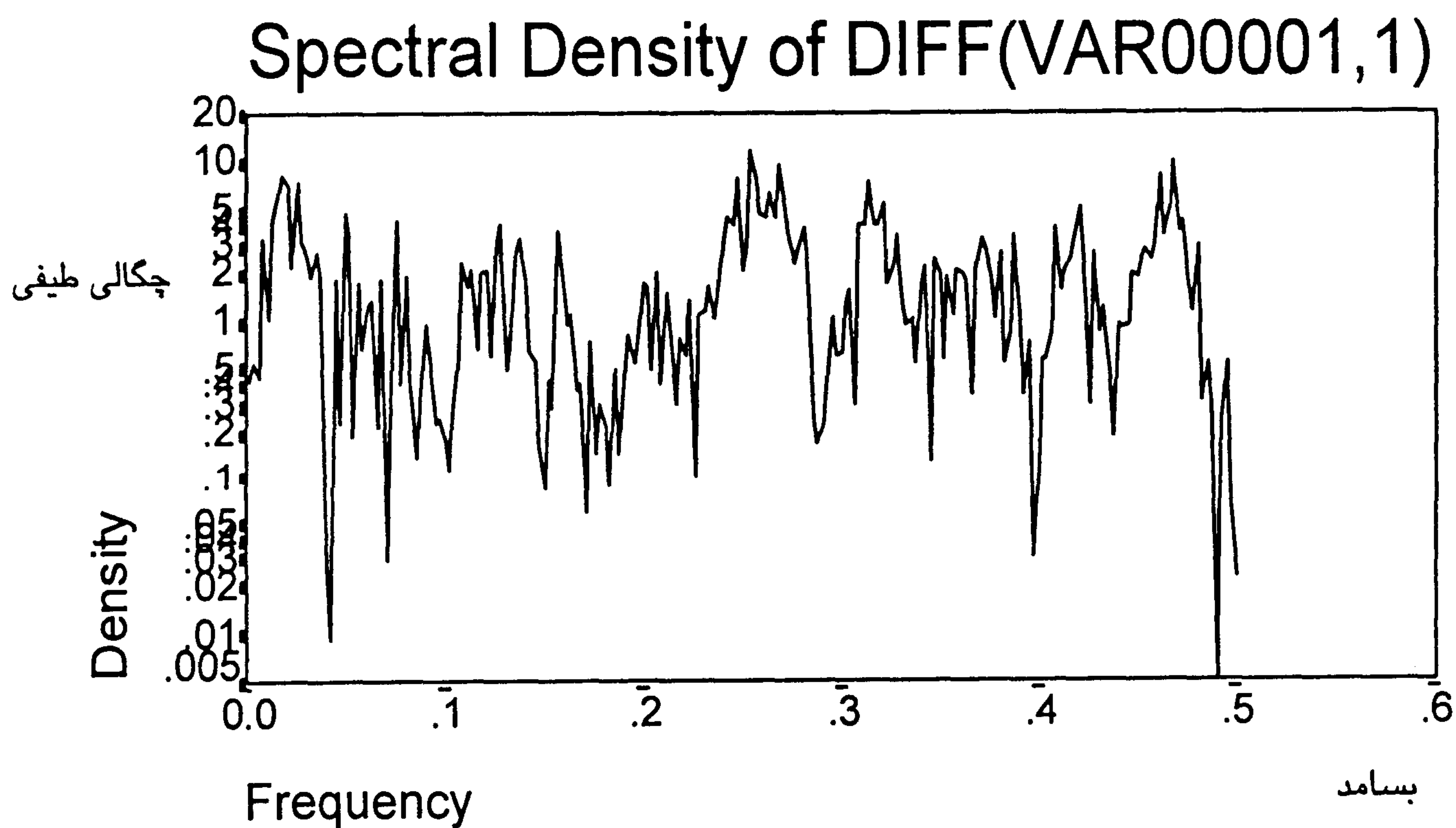
### تجزیه و تحلیل طیف سنجی

هدف از این بخش مشخص کردن مؤلفه های فرکانسی موجود در نوسانات بهای نفت می باشد (۹)، (۱۰).

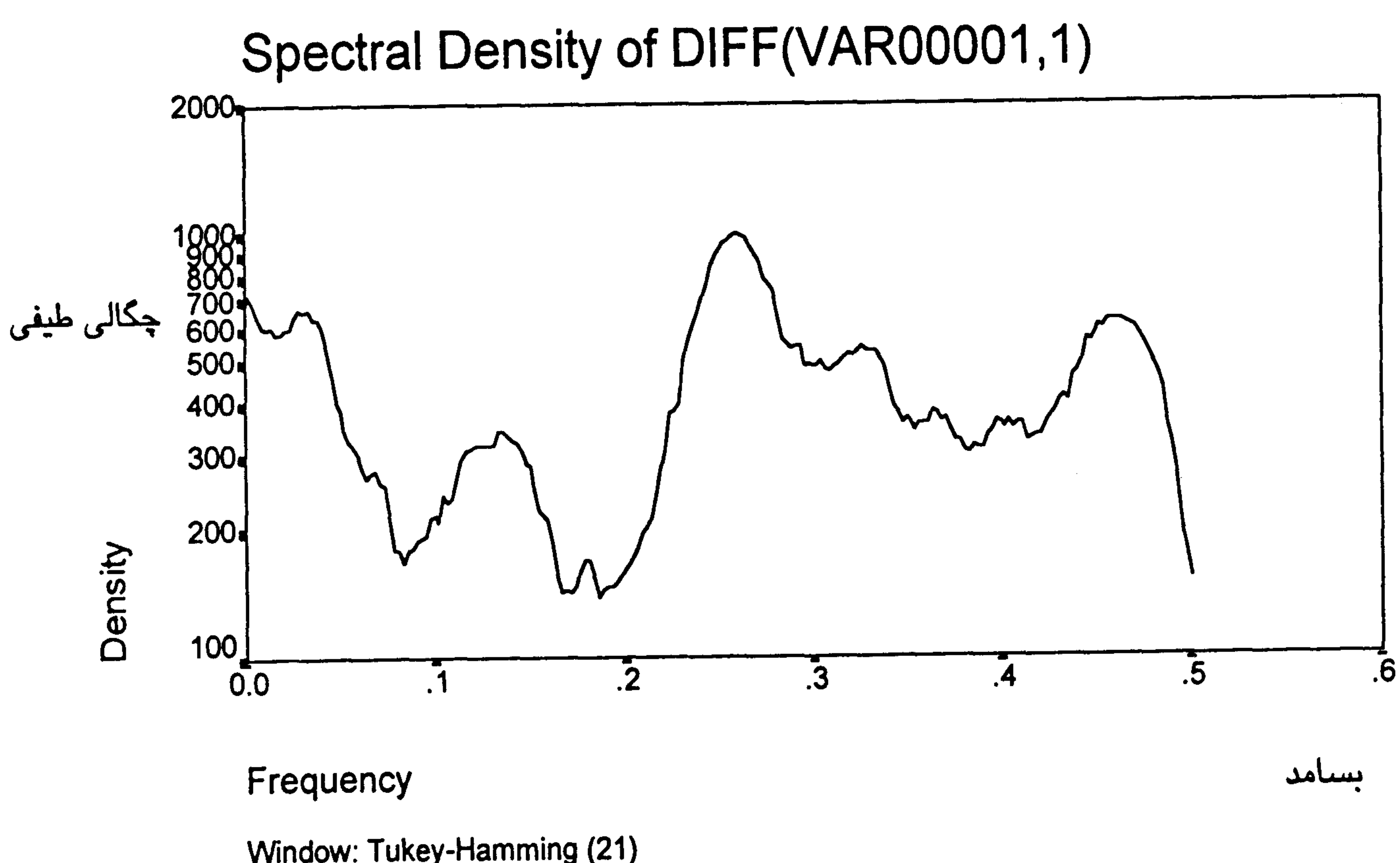
برای این منظورتابع چگالی طیفی داده های خام قبلاً در شکل شماره ۳ رسم شد و همچنانکه ملاحظه گردید به علت نایستا بودن تفاضل گیری مرحله اول انجام شد، شکل شماره ۷ تابع چگالی طیفی برای تفاضل گیری مرتبه اول را نشان می دهد.

چنانکه ملاحظه می شود، در فرکانس صفر ماکزیمم وجود ندارد که به معنی از بین رفتن نایستایی است، ولی شکل دارای شکستگی ها و بریدگی های فراوانی می باشد که امکان تجزیه و تحلیل دوره های موجود را از بین می برد (۹)، (۱۰).

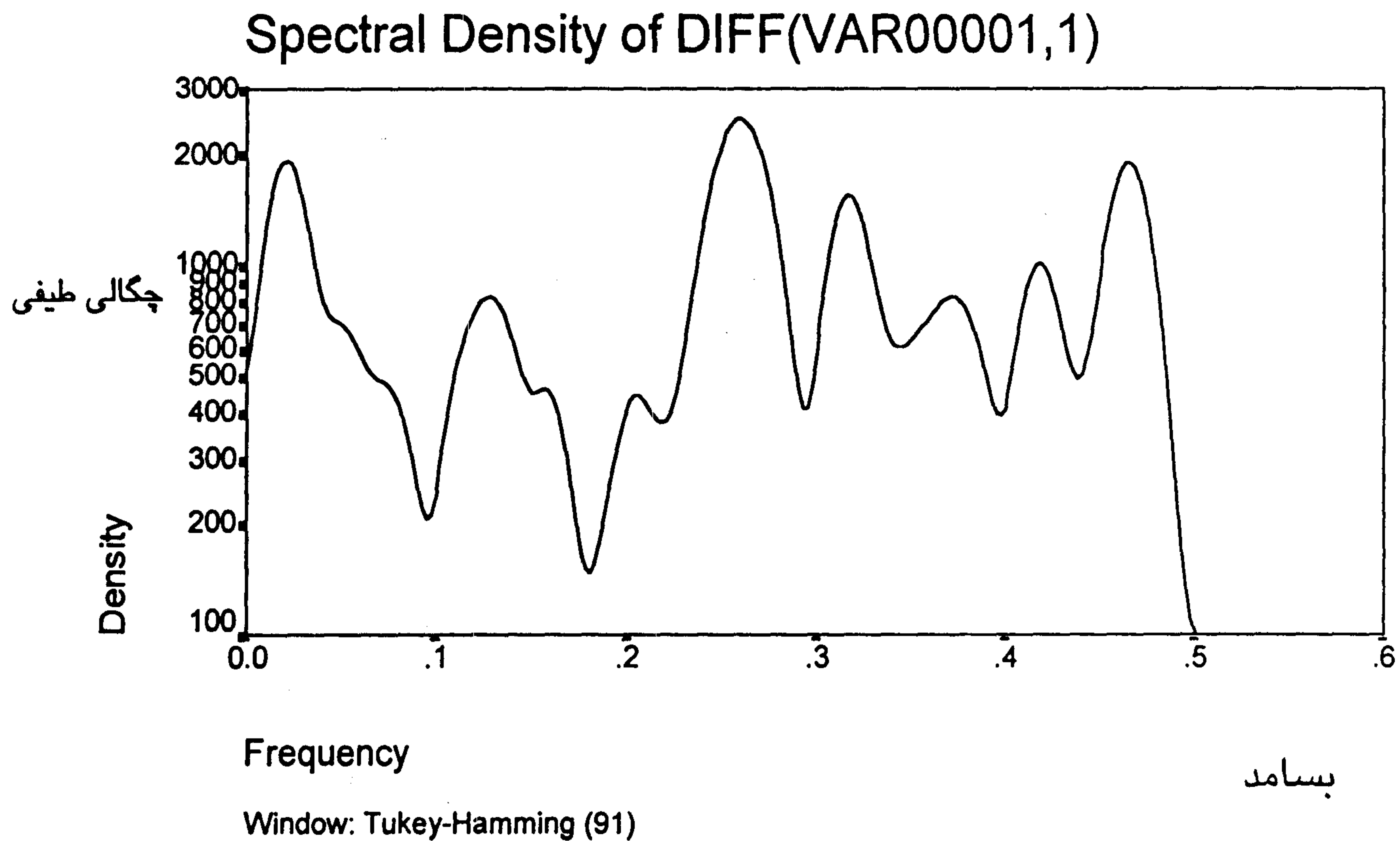
به این لحاظ باید، طیف را هموار نمود. برای هموار نمودن طیف در این تحقیق از پنجره توکی - هامینگ استفاده شده است. شکل تابع چگالی طیفی هموار شده برای پنجره توکی با  $M = 91$  و  $M = 21$  که دو مقدار بالا و پایین هستند در شکل های شماره ۸ و ۹ رسم شده است (۹)، (۱۰).



شکل شماره ۷ - تابع چگالی طیفی پس از تفاضل‌گیری مرتبه اول



شکل شماره ۸ - تابع چگالی طیفی برای  $M=21$

شکل شماره ۹ - تابع چگالی طیفی برای  $M=91$ 

ملاحظه می شود که در حالت  $M=21$  هنوز طیف به طور کامل هموار نشده است و دارای بریدگی ها و شکستگی هایی می باشد که باعث می شود توانیم دوره های موجود را کاملاً مشاهده کنیم. البته قله آشکاری در فرکانس ۰.۲۵ به چشم می خورد. لیکن در حالت  $M=91$  طیف کاملاً هموار شده است ولی نقاط ماکزیمم زیادی به چشم می خورد و امکان دارد تعدادی از آنها غیر واقعی باشد. بنابراین مقادیر بین این دو پنجره را امتحان می کنیم. شکل های شماره ۱۰ و ۱۱ تابع چگالی طیفی برای  $M=41$  و  $M=51$  را نشان می دهند (۹)، (۱۰).

چنانکه ملاحظه می شود، به ازای  $M=41$  شکل تابع چگالی طیفی کاملاً هموار شده و نقاط اصلی و فرعی کاملاً آشکار است.

با مشاهده جدول شماره ۴ مشخص می شود که دوره های افزایش تابع چگالی طیفی در فرکانس های ۰.۰۳۷۶۵، ۰.۱۲۶۷۶، ۰.۰۳۷۶۵، ۰.۳۱۶۹۰، ۰.۲۵۵۸۷ و ۰.۴۵۷۷۵ می باشد.

جدول شماره ۴ - نتایج مربوط به محاسبه تناوب و زمان تغییرات افزایش قیمت

بسامد	تناوب (۱/۱)	زمان تغییرات
0.03756	26.624	15.77
0.12676	7.88	53.23
0.25887	3.862	108.75
0.31690	3.12	134.615
0.45775	2.184	192.234

در این میان آشکارترین افزایش تابع چگالی طیفی در فرکانس ۰.۲۵۵۸۷ به چشم می خورد که به عنوان دوره اصلی و دیگر فرکانس ها را به عنوان دوره فرعی در نظر می گیریم. برای بدست آوردن زمان تغییرات از رابطه  $N/R = 1$  یا  $N = 1/R$  استفاده می کنیم که  $N$  متغیر زمان مورد بررسی و  $R$  دوره یا پریود است که خود برابر  $1/\Delta t$  می باشد (۹)، (۱۰).

ملاحظه می شود که دوره های فرعی افزایش قیمت نفت هر ۱۵ هفته، ۵۳ هفته، ۱۳۴ هفته و ۱۹۲ هفته می باشد. همچنین دوره اصلی افزایش قیمت نفت هر ۱۰۸ هفته یا حدوداً ۲ سال می باشد (مربوط به فرکانس ۰.۲۵۸۸۷). به عبارت دیگر هر ۲ سال یک بار می توان انتظار یک افزایش بزرگ در قیمت های نفت را داشت و در دیگر زمان ها (۱۵، ۵۳، ۱۳۴، ۱۹۲ هفته) نیز افزایش نسبتاً جزئی در قیمت های نفت قابل انتظار است.

در مورد دوره های کاهش قیمت نیز با مراجعه به جدول شماره ۵ به همین ترتیب می توان عمل نمود. نتایج در جدول ۵ آورده شده است و ملاحظه می شود که آشکارترین دوره کاهش قیمت نفت مربوط به فرکانس ۰.۱۸۵۴۵ و در تیجه زمان مربوط به آن ۷۸ هفته می باشد. به عبارت دیگر هر ۷۸ هفته یا حدوداً  $1/5$  سال یک کاهش بزرگ در قیمت های نفت قابل انتظار است.

جدول شماره ۵ - نتایج مربوط به محاسبه تناوب و زمان تغییرات کاهش قیمت

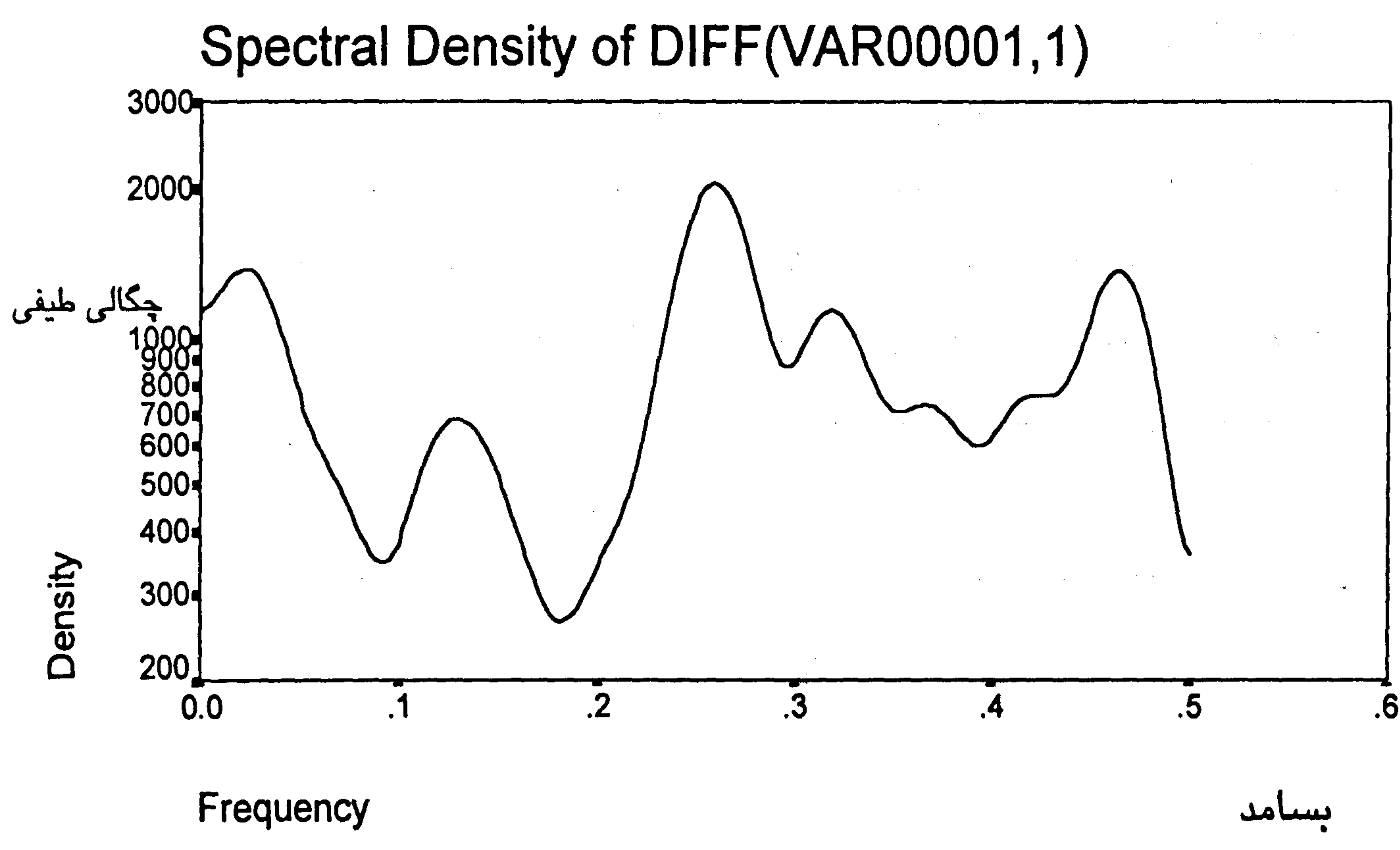
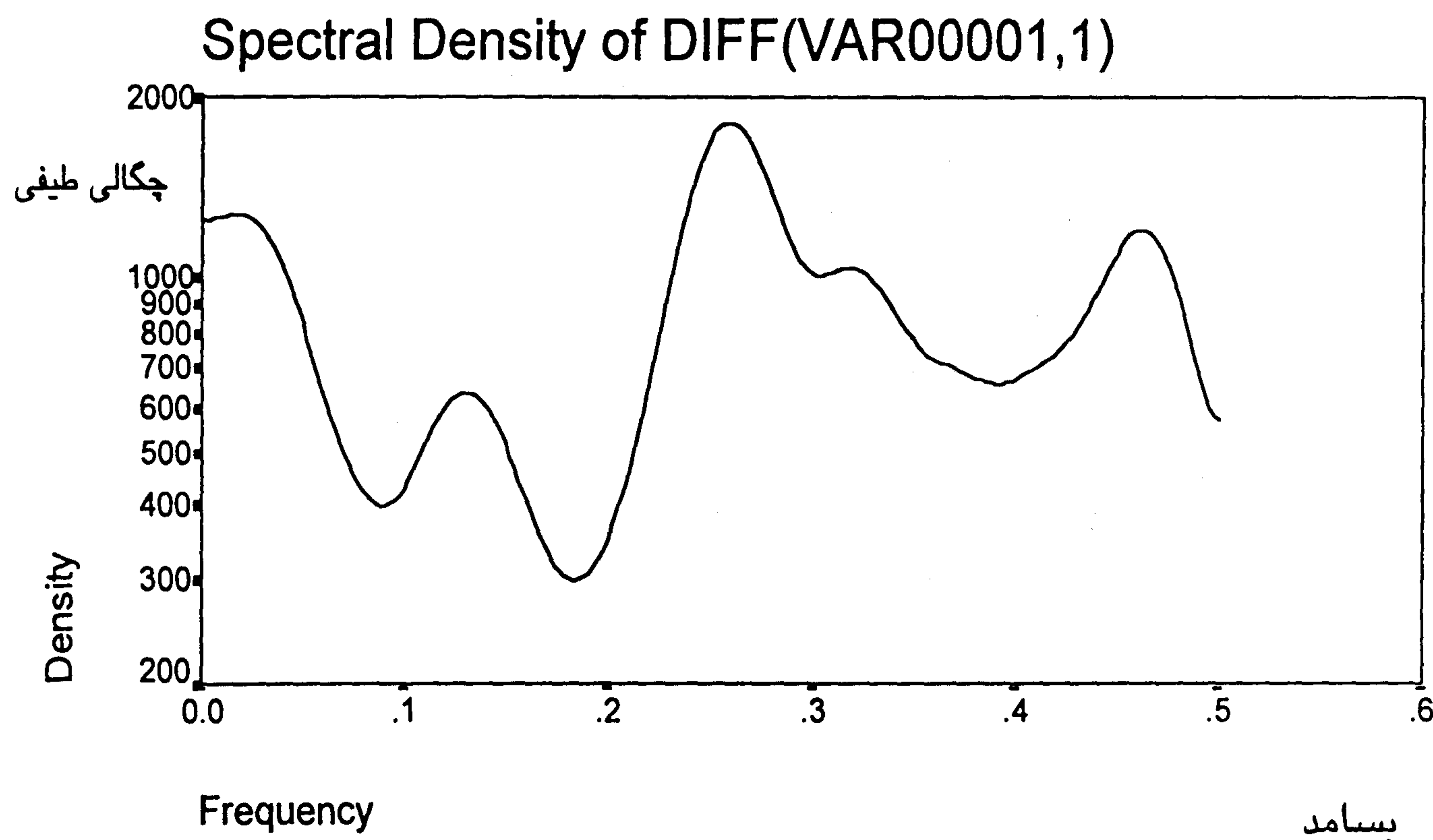
بسامد	تناوب (۱/ا)	زمان تغییرات
0.0939	10.649	39.438
0.18545	5.39	77.886
0.30047	3.32	126
0.39906	2.5	168

## الگوی سیستمی

هدف این قسمت بdst آوردن رابطه‌ای بین قیمت نفت و مقدار تولید نفت در سازمان اوپک می‌باشد. علت در نظر گرفتن چنین رابطه‌ای نقش اساسی است که کنترل عرضه در تغییرات قیمت نفت ایفا می‌کند. بویژه اینکه در زمان کاهش قیمت نفت، یکی از مکانیسم‌های اصلی جلوگیری از سقوط بهای نفت، کنترل و کاهش مقدار عرضه اعضای اوپک می‌باشد.

آمار مربوط به قیمت عرضه در این بخش تحقیق به صورت ماهانه جمع‌آوری گردیده است. آمار مربوط به تولید بر اساس اطلاعات اعلام شده توسط منابع موثق ثانویه مثل مؤسسه تحقیقات انرژی از جمله آرگوس (۶) و پلات (۷) اخذ شده است و از اطلاعات منتشره توسط اعضاء استفاده نشده است؛ زیرا اکثر اعضاء برای اثبات پایبندی به سهمیه‌های تعیین شده، میزان تولید خود را کمتر از حد واقعی اعلام می‌کنند.

از آنجاکه عرضه به عنوان مکانیسم کنترل قیمت عمل می‌کند، عرضه را به عنوان ورودی سیستم و قیمت را به عنوان خروجی در نظر می‌گیریم.



**شکل شماره ۱۱ - تابع چگالی طیفی برای  $M=51$**

## شناسایی ورودی سیستم

نمودار تغییرات عرضه نفت و تابع خود همبستگی مربوطه در شکل‌های شماره ۱۲ و ۱۳ رسم شده است. همچنانکه مشاهده می‌شود عرضه در شیب و میانگین ناایستا می‌باشد. از سوی دیگر تابع خود همبستگی نیز به کندی به سمت صفر میل می‌کند. بنابراین برای ایستا کردن داده‌ها از تفاضل‌گیری مرتبه اول استفاده می‌کنیم. شکل‌های شماره ۱۴ و ۱۵ توابع خود همبستگی و خودهمبستگی جزیی مربوط به تفاضل‌گیری مرتبه اول را نشان می‌دهند. همچنانکه مشاهده می‌شود توابع خودهمبستگی و خودهمبستگی جزیی هر دو بدون دم و با کاهش سینوسی هستند و لذا مدل اولیه می‌تواند به صورت ARIMA(p,q,d) با درجه  $d=1$  باشد (۱۱)، (۱۲)، (۱۳).

برای شروع  $p=1$  و  $q=1$  را قرار می‌دهیم. نتایج در جدول شماره ۶ آورده شده است و مشاهده می‌شود که در این حالت آماره‌های مربوط به تخمین (1)AR و (1)MA همگی با معنی هستند و تفاوت معنی‌داری از صفر نشان می‌دهند. بنابراین دو مرحله شناسایی و تخمین انجام شده است. در مورد آزمایش مدل همچنانکه در جدول شماره ۶ مشخص شده است آماره  $\chi^2$  مربوط به مانده‌های مدل برابر است با:

$$Q = (100-1) \sum_{k=1}^{20} r_e^2 (K) = 28.39057$$

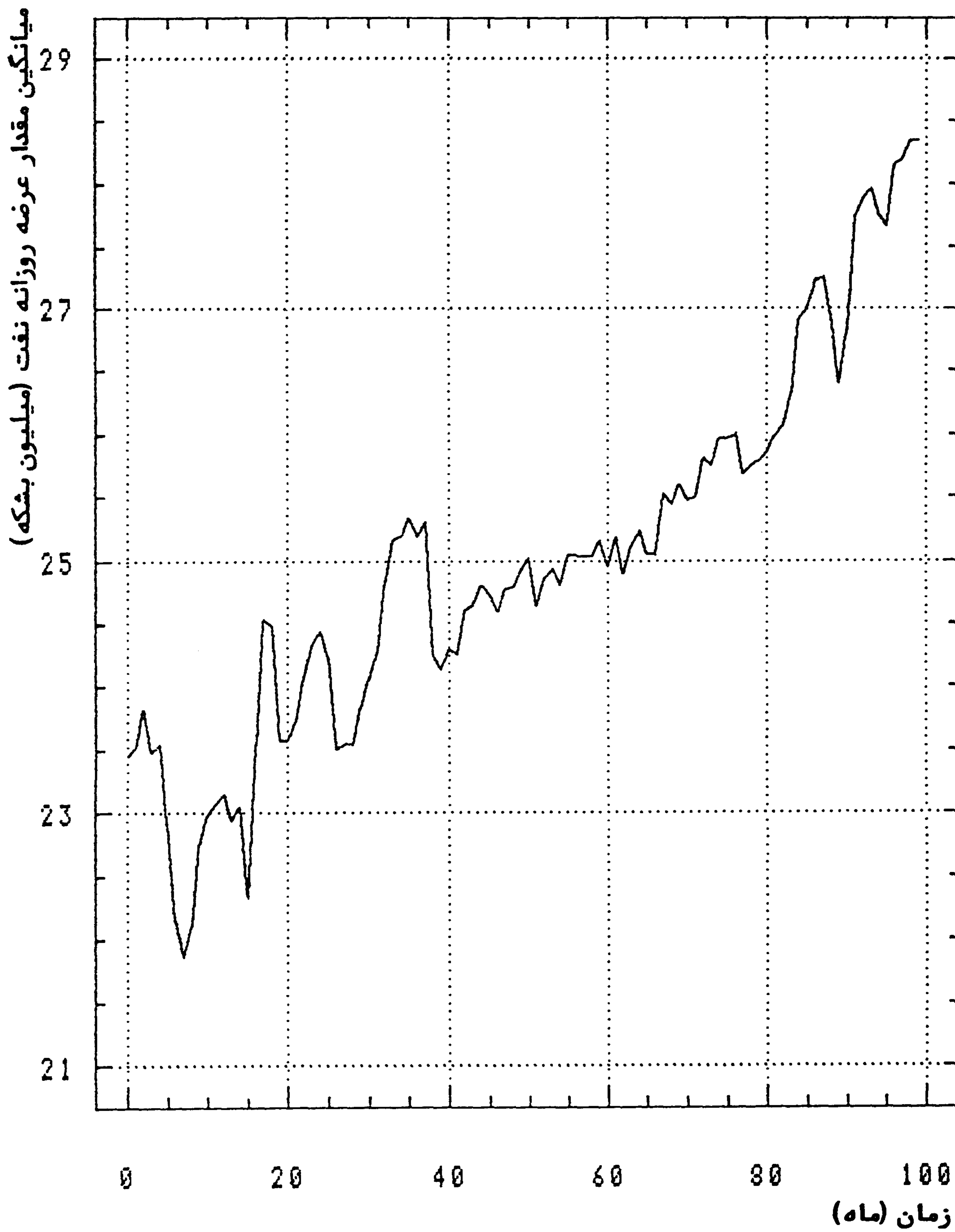
$$\chi^2_{20-1-1,0.05} = 28.87$$

بنابراین توزیع آماره مربوط به مانده‌ها در خارج از منطقه بحرانی قرار می‌گیرد. پس مدل مربوط به ورودی (عرضه) به صورت ARIMA(1,1,1) و شکل مدل عبارتست از:

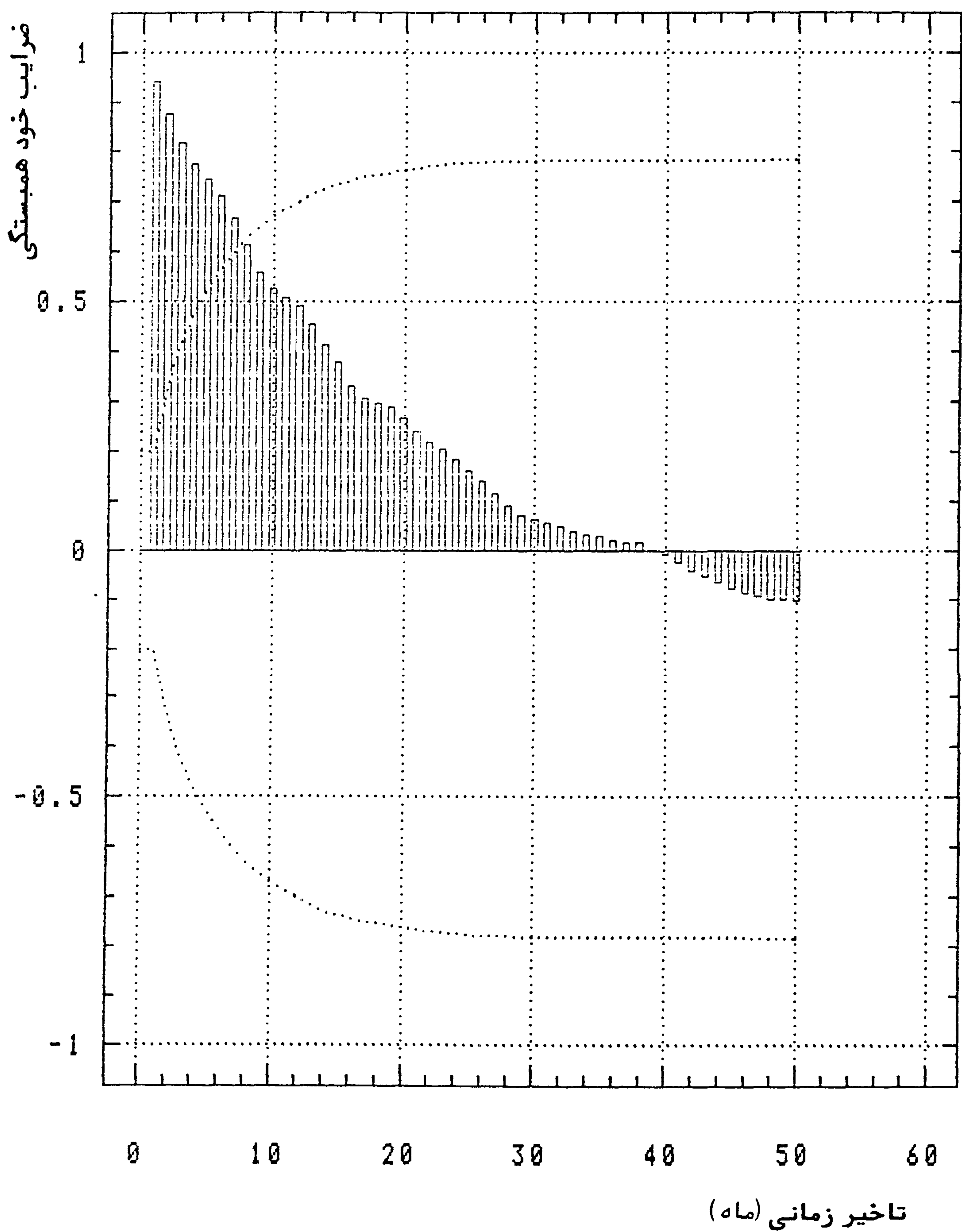
$$Z_t = 0.515Z_{t-1} - 0.692\epsilon_{t-1} + \epsilon_t$$

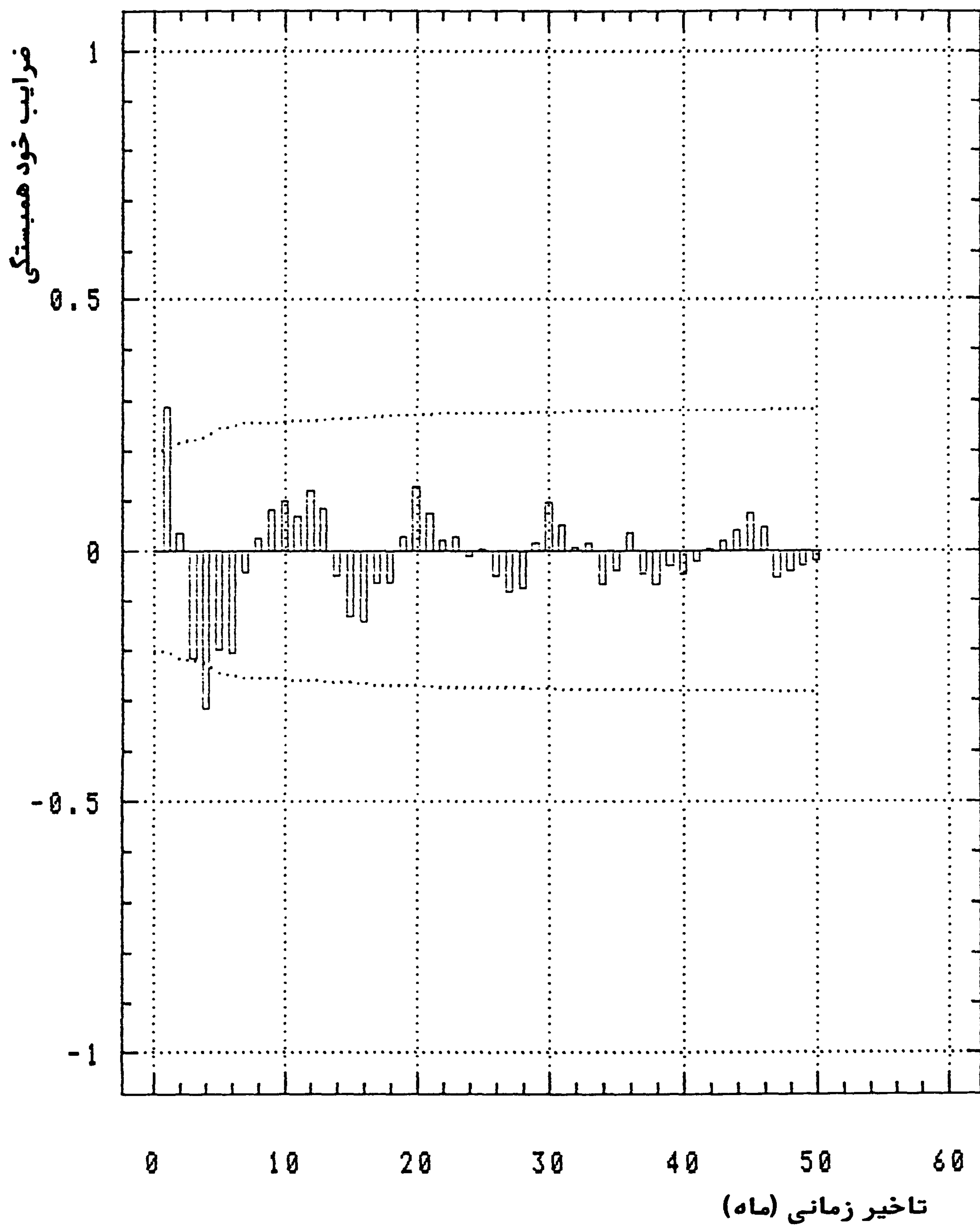
در صورتی که همین تبدیل [ ARIMA(1,1,1) ] را برای خروجی سیستم به کار ببریم خواهیم داشت:

$$X_t = 0.515X_{t-1} - 0.692\epsilon_{t-1} + \epsilon_t$$

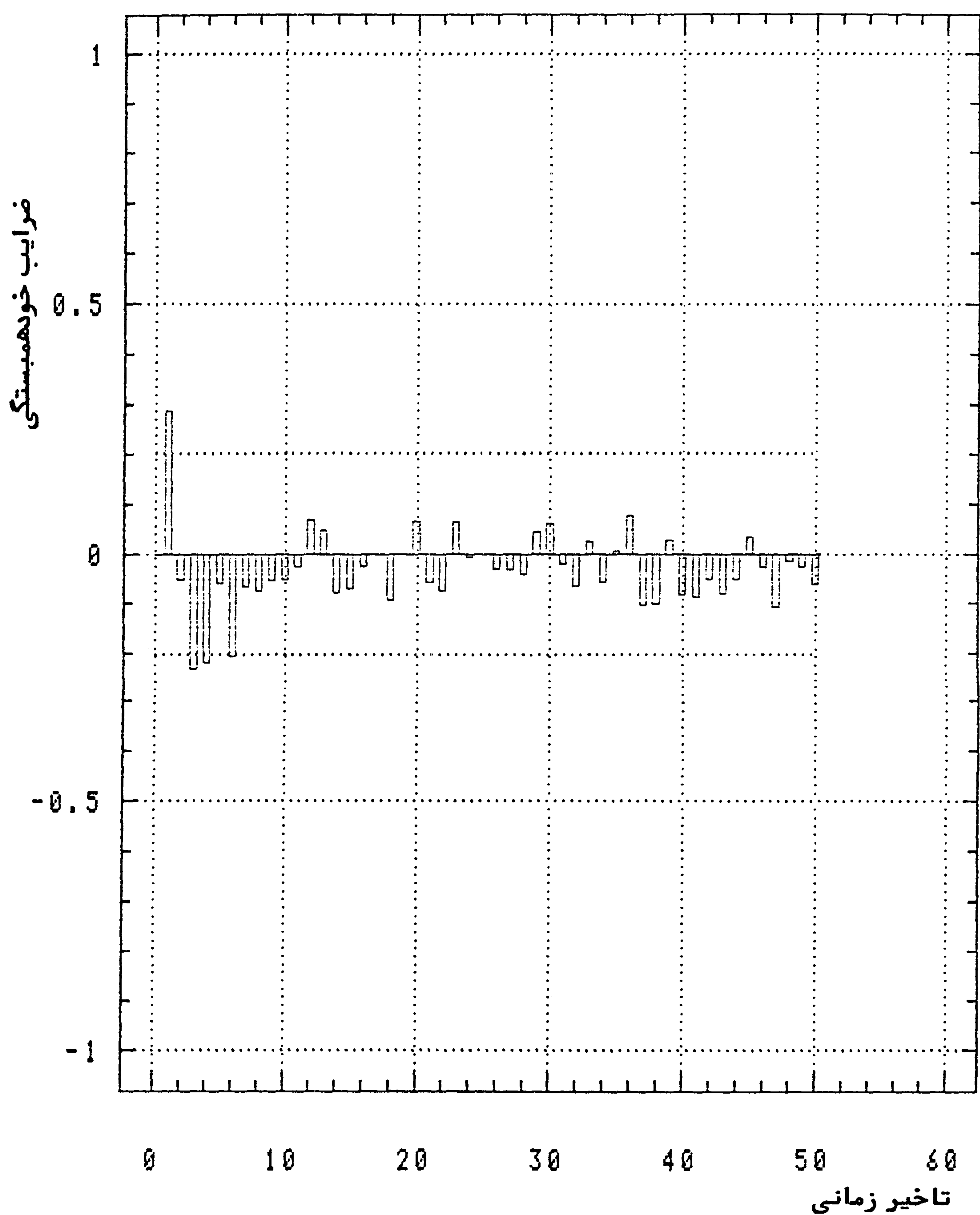


شكل شماره ۱۶ - تغییرات مقدار عرضه نفت (دودی سیستم)





شکل شماره ۱۶ - تابع خود همبستگی تفاضل مرتبه اول درودی سیستم



شکل شماره ۱۵ - تابع خود همبستگی جزئی تفاضل مرتبه اول ورودی سیستم

## جدول شماره ۶ - نتایج تخمین‌های اولیه مدل ARIMA(1,1,1) مربوط به وردودی سیستم

Initial:	RSS=15.4659	b=-0.142961	0.142961
Iteration 1:	RSS=15.1893	b=-0.0555756	0.129881
Iteration 2:	RSS=15.1463	b=-0.83269E-1	0.157869
Iteration 3:	RSS=15.1044	b=0.0756419	0.228475
Iteration 4:	RSS=15.0087	b=0.210329	0.3701231
Iteration 5:	RSS=14.8534	b=0.437608	0.608222
Final:	RSS=14.8426	.....stopped on criterion 2	

#### Summary of fitted model for: SUPPLY.DATA

Parameter	Estamate	Stnd.error	T-value	P-value
AR(1)	.51574	.37771	2.36546	.017530
MA(1)	.69253	.33490	2.06787	.41349

MODEL FITTED TO DIFFRENCE OF ORDER 1

ESTIMATED WHITE NOISE VARIANCE =0.15461 WITH 96 DEGREE OF FREEDOM

ESTAMATED WHITE NOISE STANDARD DEVIATION (STD ERR)=0393205

CHI-SQUAR STATISTIC ON FIRST 20 RESIDUAL AUTOCORRELATION =28.39057

WITH PROBABILITY OF A LARGER VALUE GIVEN WHITE NOISE =0.919652

BACK FORE CASTING:NO

NUMBER OF ITERATION PERFORMED:6

# تعیین تابع پاسخ ضربه‌ای

جدول شماره ۷ تابع همبستگی تقاطعی مابین مانده‌های سری ورودی تبدیل شده به نوفه سفید و مانده‌های خروجی متناظراً تبدیل یافته (پس از تفاضل‌گیری درجه ۱) را نشان می‌دهد. شکل ۱۶ نیز تابع خود همبستگی مربوط به مانده‌های فرایند ARIMA(1,1,1) ورودی می‌باشد که به نوفه سفید تبدیل شده است. همچنانکه مشاهده می‌شود و قبل از آزمایش شد، هیچکدام از صفر متفاوت نیستند و در حقیقت ساختار مشخصی را بدست نمی‌دهند که خود به معنی تبدیل شدن مانده‌های ورودی سیستم به نوفه سفید است.

جدول شماره ۷ - تابع همبستگی متقابل بین ورودی پیش نویفهای شده و خروجی متناظراً تبدیل یافته

variable:CROSS49.COFS	(length = 50)
(1)	-0.0807014
(2)	-0.204044
(3)	-0.21924
(4)	-0.118724
(5)	-0.0453899
(6)	0.210511
(7)	0.0427685
(8)	0.0618679
(9)	0.0747966

گام بعد مشخص کردن تابع پاسخ ضربه‌ای با استفاده از رابطه

$$\hat{V}(K) = \frac{r_{\alpha\beta} (K) S_\beta}{S_\alpha}$$

برای بدست آوردن وزن‌های مربوط به این تابع (پاسخ ضربه) است (۹)، (۱۰)، (۱۱). مقادیر محاسبه شده در جدول شماره ۸ نشان داده شده است. انحراف استاندارد ورودی سیستم ( $S_\alpha$ ) که مانده‌های ورودی سیستم پس از تبدیل به نویفه سفید است ۰.۳۸ و انحراف استاندارد خروجی سیستم ( $S_\beta$ ) که مانده‌های خروجی سیستم پس از تبدیل طبق الگوی ورودی ۲.۱۲۵ است.

پس از مشخص کردن وزن‌های تابع پاسخ ضربه‌ای بایستی  $s, r, b$  را تعیین کنیم. از روی تابع همبستگی تقاطعی جدول شماره ۷ مشخص است که تابع در تأخیر صفر از صفر تفاوت ندارد، زیرا مقدار آن از ۲ برابر انحراف استاندارد کوچکتر است.

انحراف استاندارد تابع همبستگی تقاطعی برابر با  $N^{-1/2}$  است (۱۰) و در این حالت  $N=99$  می‌باشد البته تعداد ورودی و خروجی سیستم  $N=100$  می‌باشد که جهت سهولت امر آن را ۱۰۰ در نظر گرفته‌ایم.

بنابراین وزن اول تابع پاسخ ضربه‌ای را صفر در نظر می‌گیریم، که با  $b=1$  متناسب است.

از سوی دیگر مشاهده می شود که کاهش مربوط به تابع پاسخ ضربهای از اولین پاسخ که مربوط به تأخیر صفر است شروع شده که  $s=0$  را نتیجه می دهد. همچنین تابع پاسخ ضربهای به طور سینوسی کاهش می پذیرد، بنابراین مدل آزمایشی اولیه‌ای که می توانیم تخمین را با آن آغاز کنیم با  $s = 0, r = 2, b = 1$  مشخص می شود و مدل کلی عبارتست از (۹)، (۱۰)، (۱۱) :

$$X_t = \frac{\omega_0}{1 - \delta_1 B - \delta_2 B} Z_{t-1}$$

نکته مهم اینکه همانند مدل‌های ARIMA، تخمین‌های اولیه ضرایب و پارامترها فقط مقادیر اولیه‌ای برای شروع بدست می دهد و به معنی قطعی بودن و معنادار بودن این تخمین‌ها نمی باشد، بلکه باید با استفاده از روش‌های متفاوت بهترین تخمین مربوط به هر مدل را با استفاده از تخمین‌های اولیه انجام داد.

جدول شماره ۸ - تابع پاسخ ضربهای بین مانده‌های ورودی پیش نویه‌ای شده و خروجی متناظراً تبدیل یافته

variable:RESPONSE.DATA (length = 50)

- (1)-0.45094
- (2) -1.14015
- (3)-1.15418
- (4) -0.663402
- (5) -0.241335
- (6) 1.17629
- (7) 0.23889
- (8) 0.3478503
- (9)0.417954
- (10)-0.084188
- (11)0.0865745

## تخمین اولیه از تابع انتقال

پس از بدست آوردن وزن‌های تابع پاسخ ضربه با استفاده از روابط زیر خواهیم داشت (۹)، (۱۰)، (۱۱) :

$$V_j = 0 \quad j < 1$$

$$V_1 = \omega_0 \quad j=1$$

$$V_2 = \delta_1 V_1 + \delta_2 V_0 \quad j=2$$

$$V_3 = \delta_1 V_2 + \delta_2 V_1 \quad j=3$$

با جایگذاری وزن‌های مربوط به تابع پاسخ ضربه‌ای به جای  $V_3, V_2, V_1$  و پس از حل معادلات فوق تخمین‌های اولیه تابع انتقال به صورت زیر بدست می‌آید:

$$\omega_0 = -1.14, \delta_1 = 1.36, \delta_2 = -0.83$$

و مدل اولیه به صورت

$$X_t = \frac{-1.14}{1-1.36B + .83B^2}$$

در می‌آید.

## تخمین نوفه

با توجه به توابع خودهمبستگی و خود همبستگی جزیی (شکل شماره ۱۶ و ۱۷) و تخمین‌های انجام شده که در جدول شماره ۱۰ آورده شده است می‌توان مانده‌های مربوط به ورودی سیستم را به صورت فرایند (MA(1)) در نظر گرفت (۹)، (۱۰)، (۱۱). آنگاه با استفاده از روابط زیر خواهیم داشت:

$$\epsilon_t = (1/1-1.006B)^* n_t \Rightarrow n_t = (1-1.006B)^{-1} \epsilon_t$$

با ترکیب مدل تابع انتقال و نوفه خواهیم داشت:

$$X_t = \frac{-1.14}{1-1.36B + .83B^2} + Z_{t-1} (1-1.006B)^{-1} \epsilon_t$$

همچنانکه قبل اشاره شد مدل مربوط به تابع انتقال تنها یک تخمین اولیه است. برای تخمین دقیق و نهایی پارامترها از روش‌های مختلفی مانند کمترین مربعات مارکواردت، تخمین غیرخطی، توان دوم شرطی می‌توان استفاده نمود که در این تحقیق از الگوریتم تخمین غیرخطی به کار گرفته شده است و با استفاده از مقادیر اولیه یعنی  $\omega_0 = -1.14, \delta_1 = 1.36, \delta_2 = -0.83$  پس از تکرارهای متوالی توسط نرم‌افزار SPSS تخمین زده شده است. با استفاده از این الگوریتم کارا تخمین ضرایب فوق عبارتست از:

$$\omega_0 = 0.31, \delta_1 = 0.29, \delta_2 = -0.78$$

جدول شماره ۹ - پیش‌بینی انجام شده توسط تابع انتقال

variable:TRANSFER.DATA (length =99)
(1)0
(2)0
(3)0
(4)0
(5)16.51
(6)16.23
(7) 16.98
(8)15.99
(9)27.43
(10)27.7
(11)28.44
(12)18.6
(13)9.08
(14) 22.31
(15)10.919
(16)17.04
(17)15.66
(18)16.68
(19)17.6
(20)19.16
(21)18.6
(22)21.55
(23)22.71
(24)14.85
(25)17.74
(26)15.71
(27)16.87
(28)16.78
(29)15.42
(30)17.6
(31)16.7
(32)20.99
(33)19.19
(34)17.4
(35)17.84
(36)16.83
(37)15.42
(38)15.96
(39)16.97
(40) 18.5
(41) 15.76
(42)17.4
(43)16.39
(44)15.53
(45)15.89
(46)15.06
(47)16.94
(48)13.46
(49)1304
(50)15.7
(51)14.51
(52)14.55
(53)15.3
(54)15.47
(55)17.44
(56)16.66
(57)15.29
(58)15.43
(59)16.25
(60)16.14
(61)15.66
(62)17.69
(63)15.65
(64)16.06
(65)19.18
(66)16.85
(67)16.46
(68)15.19
(69)15.47
(70)15.54
(71)14.97
(72)17.44
(73)17.73
(74)17.99
(75)17.68
(76)18.32
(77)17.8
(78)17.74

بنابراین شکل کامل مدل تابع انتقال همراه با نویفه تخمین زده شده عبارتست از:

$$X_t = \frac{0.31}{1-0.29B + 0.78B^2} Z_{t-1} + (1-1.006B) \varepsilon_t$$

۶ ماندهای مدل ARIMA(1,1,1) ورودی تبدیل یافته است، که پس از تبدیل به نویفه سفید خود به صورت یک سری زمانی در نظر گرفته شده است و با استفاده از توابع خودهمبستگی، خود همبستگی جزئی و روابط مدل بندی شده است (۹)، (۱۰)، (۱۱).

جدول شماره ۱۰ - نتایج تخمین ضرایب مدل ARIMA(0,0,1) مربوط به ماندها (ورودی سیستم)

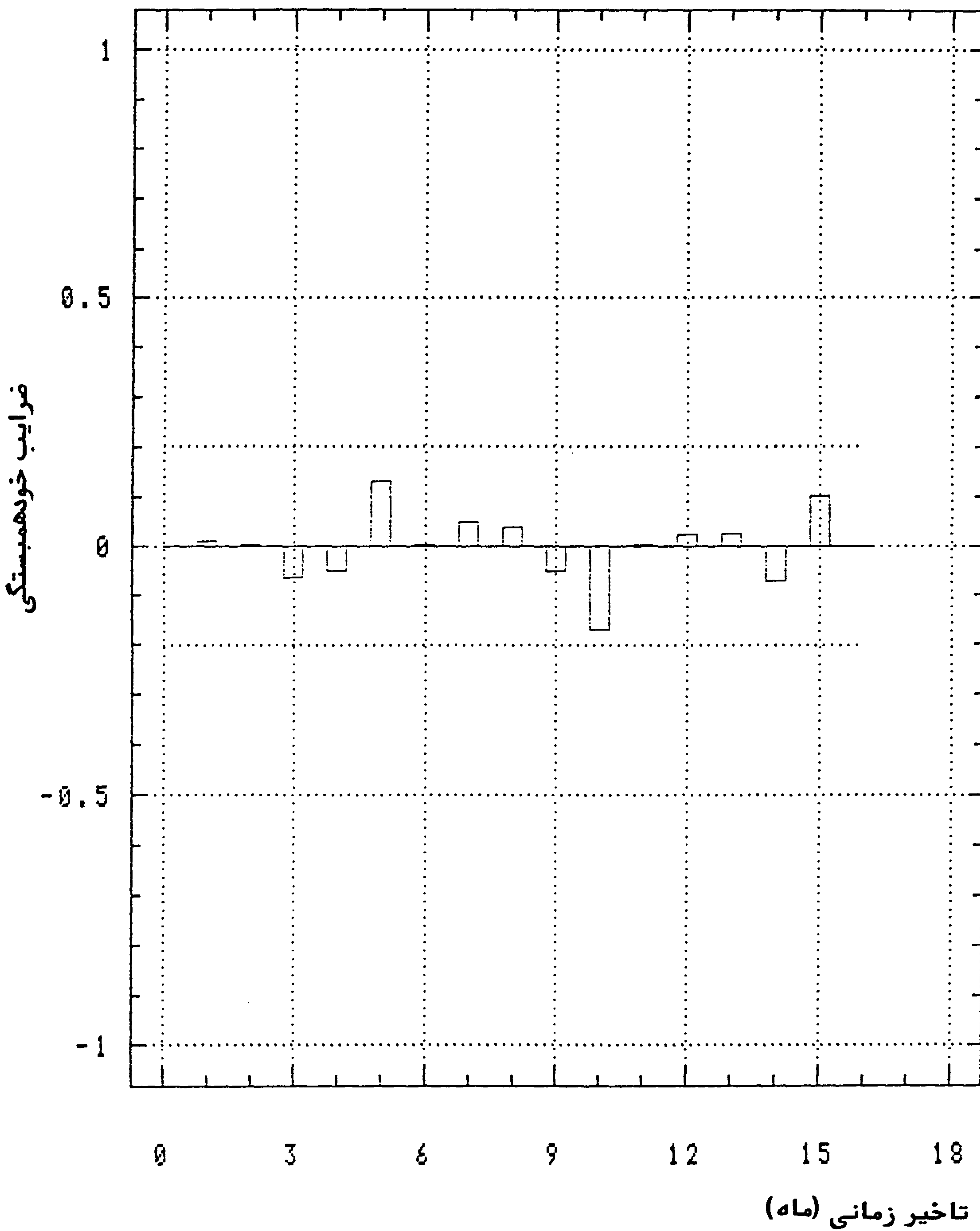
Initial:	RSS=18.6994	b=-0.49641		
Iteration 1:	RSS=16.041	b=0.743373		
Iteration 2:	RSS=14.484	b=0.93146		
Iteration 3:	RSS=14.2224	b=0.981222		
Iteration 4:	RSS=14.0258	b=1.004447		
Final:	RSS=14.0192	.....stopped on criterion 2		
Summary of fitted model for: SUPPLY.DATA				
Parameter	Estimate	Stnd.error	T-value	P-value
MA(1)	1.00632	.0551	2.53738	.0421
MODEL FITTED TO DIFFRENCE OF ORDER				
ESTIMATED WHITE NOISE VARIANCE =0.146033 WITH 96 DEGREE OF FREEDOM .				
ESTAMATED WHITE NOISE STANDARD DEVIATION (STD ERR)=0382143				
CHI-SQUAR STATISTIC ON FIRST 20 RESIDUAL AUTOCORRELATION =8.4558				
WITH PROBABILITY OF A LARGER VALUE GIVEN WHITE NOISE =0.981468				
BACK FORE CASTING:NO	NUMBER OF ITERATION PERFORMED:5			

### پیش‌بینی قیمت‌های نفت با استفاده از تابع انتقال

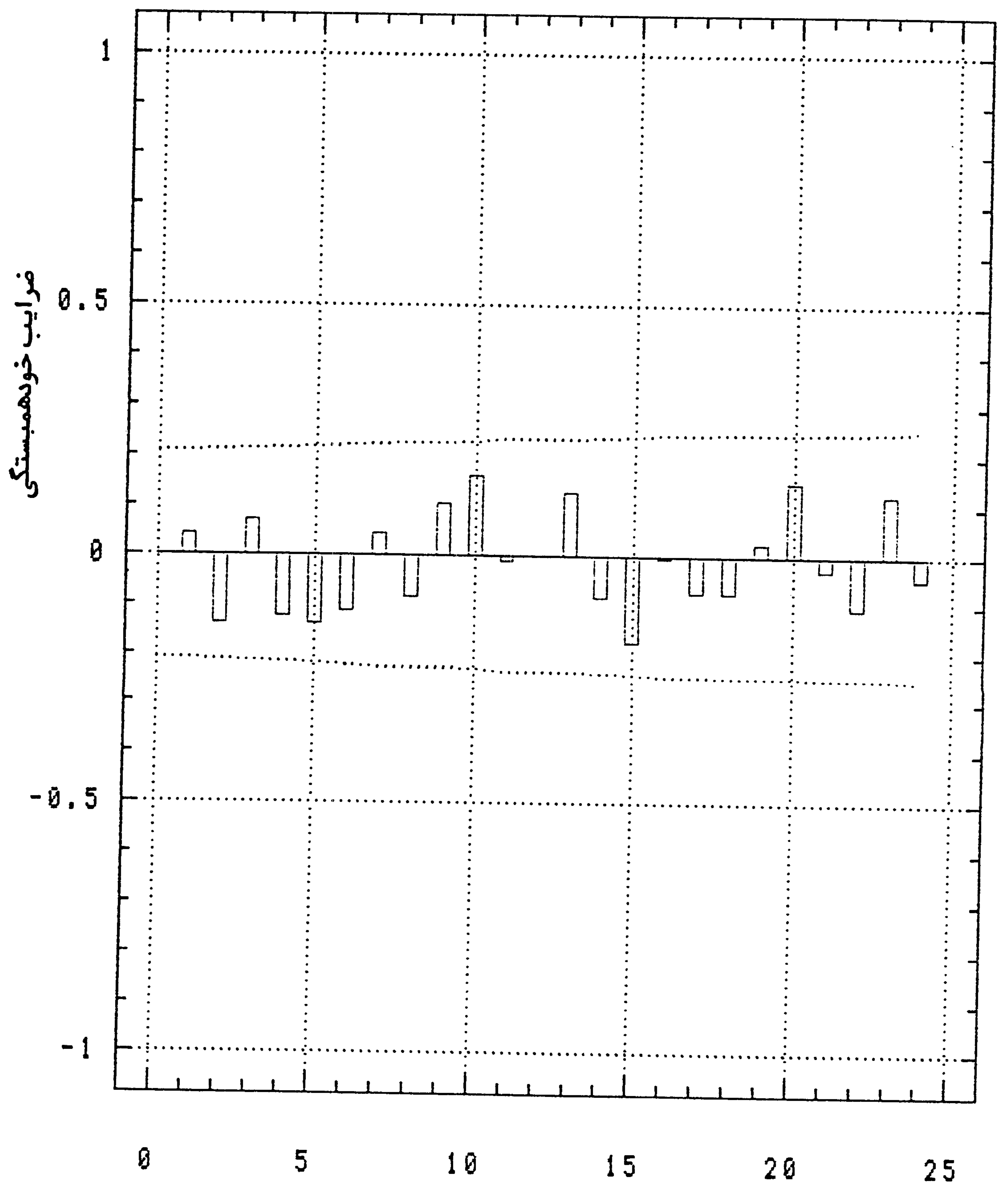
با استفاده از تابع انتقال بدست آمده، پیش‌بینی در تقدم زمان (لیدتايم) ۲ را می‌توان به صورت زیر نوشت (۹)، (۱۰)، (۱۱):

$$X_{T+\tau}(T) = 1.29E_T[X_{T+\tau-1}] - 0.78E_T[X_{T+\tau-2}] + 0.31E_T[Z_{T+\tau-1}] - 2.29E_T[\varepsilon_{T+\tau-1}] + 2.07E_T[\varepsilon_{T+\tau-2}] - 0.78E_T[\varepsilon_{T+\tau-3}]$$

مقدار محاسبه شده برای ماه‌های پنجم تا نود و نهم در جدول شماره ۹ آورده شده است.



شکل شماره ۱۶ - تابع خودبستگی وردودی پیش نویفای شده



شکل شماره ۱۷ - تابع خودهمبستگی جزئی ورودی پیش‌نوفه‌ای شده

برای مشاهده روش محاسبه، به عنوان مثال مقدار پیش‌بینی شده برای دوره ۵۰ به صورت زیر محاسبه می‌شود:

$$X(50) = 1.29(13.71) - 0.78(12.87) + 0.31(24.7883) - 2.29(-0.107) + \\ 2.07(0.016) - 0.78(0.12) = 15.7$$

همچنین برای ماه آوریل ۱۹۹۸ پیش‌بینی به صورت زیر درمی‌آید:

$$X(100) = 1.29(12.79) - 0.78(13.52) + 0.31(28.35) - 2.29(0.198) + \\ 2.07(0.102) - 0.78(0.46) = 13.75$$

برای درک بهتر علت استفاده از توابع انتقالی و توانایی بالاتر آن نسبت به مدل‌های دیگر بهترین راه مقایسه آن با مدل‌های ARIMA است که توابع انتقال شکل توسعه یافته همین مدل‌ها می‌باشد. برای این منظور خروجی سیستم را از روش ARIMA مدل‌بندی می‌کنیم (۹)، (۱۰)، (۱۱).

همچنانکه در قبل ملاحظه شد سیستم تغییرات بهای نفت از نوع ARIMA(3,1,0) می‌باشد. برای مقایسه دو حالت فوق الذکر از خطای پیش‌بینی و معیار ریشه میانگین مجذورات خطا RMSE استفاده می‌کنیم که به صورت زیر محاسبه می‌شود (۱۲):

$$RMSE = \sqrt{\sum_{i=1}^n \frac{(X_t - \hat{X}_t)^2}{n}}$$

در مورد پیش‌بینی محاسبه شده به وسیله تابع انتقال در جدول شماره ۹، مشخص می‌شود که در ماه‌های نهم تا پانزدهم مقدار پیش‌بینی با مقدار واقعی تفاوت زیادی را نشان می‌دهد، که علت آن همزمانی ماه‌های فوق با جنگ خلیج فارس است که در آن دوره تقریباً ۷ ماهه قیمت‌های نفت از نوسانات و تغییرات غیرعادی و خارج از بنیان‌های بازار برخوردار بود و در بسیاری از پژوهش‌هایی که بعد از این دوره صورت گرفته قیمت‌های مربوط به زمان جنگ حذف گردیده است. با حذف دوره مزبور و پس از محاسبه خطاهای پیش‌بینی در دو حالت و با این توضیح که در مورد مدل ARIMA چون به صورت هفتگی محاسبه گردیده هفته‌های ۳۶ تا ۷۲ حذف شده است.

میانگین مجذورات خطاهای مربوط به پیش‌بینی (AVERAGE) به وسیله تابع انتقال ۲/۵۶ و به وسیله مدل ARIMA ۳/۲۱ می‌باشد بنابراین خواهیم داشت:

$$RMSE = \sqrt{MSE} = \sqrt{2.56} = 1.6 \quad \text{تابع انتقال}$$

$$RMSE = \sqrt{MSE} = \sqrt{3.21} = 1.79 \quad ARIMA(3,1,0)$$

همچنانکه ملاحظه می‌گردد RMSE مربوط به تابع انتقال کوچکتر از RMSE مربوط به مدل ARIMA(1,1,1) می‌باشد که به معنی کاراتر بودن پیش‌بینی انجام گرفته توسط مدل‌های تابع انتقال می‌باشد (۹)، (۱۰)، (۱۱).

## نتایج

نتایج حاصل از این تحقیق را می‌توان به صورت زیر خلاصه نمود:

- ۱ - داده‌های مربوط به میانگین هفتگی بهای نفت سازمان اوپک نایستا است. با توجه به معرفی روش‌های مختلف مورد استفاده در رابطه با ایستا کردن داده‌ها، در این تحقیق از تفاضل‌گیری مرتبه اول استفاده گردیده و با بررسی نتایج، مشخص شده است که تفاضل‌گیری مرتبه اول برای ایجاد ایستایی در داده‌ها کفايت می‌نماید.
- ۲ - با بررسی تابع خودهمبستگی تفاضل مرتبه اول، مشاهده گردید که در تغییرات بهای نفت سازمان اوپک عوامل فصلی دخالت ندارد.
- ۳ - با بررسی تابع چگالی طیفی وجود ماکریزم در فرکانس صفر ملاحظه گردید که علت نایستایی در داده‌های خام ناشی از وجود جزء روند است.
- ۴ - نوسانات میانگین هفتگی بهای نفت سازمان اوپک از نوع اتو رگرسیون درجه ۳ می‌باشد. این نتیجه با استفاده از توابع خودهمبستگی و خود هبستگی جزیی در شناسایی مدل، استفاده از رویه جستجوی پی در پی (به وسیله نرم‌افزار کامپیوترا) در محاسبه پارامترهای مدل و استفاده از آزمون مانده‌های مدل در تعیین شایستگی آن، حاصل گردید.
- ۵ - هر ۱۰۸ هفته یا حدوداً دو سال یکبار می‌توان انتظار یک افزایش بزرگ در قیمت‌های نفت اوپک را داشت. دوره‌های فرعی افزایش قیمت نفت عبارتند از: ۱۵ هفته، ۱۳۴ هفته و ۱۹۲ هفته.

۶ - هر ۷۸ هفته یا حدوداً ۱/۵ سال یک بار می‌توان انتظار یک کاهش بزرگ در قیمت‌های نفت را داشت. دوره‌های فرعی کاهش قیمت نفت عبارتند از: ۳۹ هفته، ۱۲۶ هفته و ۱۶۸ هفته.

۷ - برای هموارسازی طیف از پنجره توکی استفاده شد و ملاحظه گردید که استفاده از مقادیر پایین پنجره توکی باعث ایجاد تعداد زیادی شکستگی و بریدگی می‌شود که امکان تجزیه و تحلیل را سلب می‌نماید ( $M=21$ ). همچنین مقادیر بالای  $M$  تعداد زیادی نقاط ماکزیمم و مینیمم را نشان می‌دهد که باعث گمراهی در تشخیص دوره‌های اصلی و فرعی می‌گردد ( $M=91$ ). به این ترتیب، به عنوان بهترین مقدار برای پنجره توکی،  $M=41$  می‌باشد که دوره‌های موجود در نوسانات را کاملاً آشکار می‌نماید.

۸ - مدل تابع انتقال مربوط به نوسانات ماهانه بهای نفت و عرضه ماهانه، پس از محاسبه تابع پاسخ ضربه‌ای و تابع همبستگی متقابل، تعیین و ارائه گردید.

## منابع و مأخذ

- ۱ - محمد سریر، مرتضی هاشمی، «اوپک و دیدگاه‌های آینده»، دفتر مطالعات سیاسی وزارت نفت، ۱۳۶۷، چاپ اول.
- ۲ - گروه انرژی مجلس شورای اسلامی، «نفت، بازار جهانی و چشم انداز قیمت‌ها در سال ۹۵»، مجلس و پژوهش، فروردین واردیبهشت ۱۳۷۴.
- ۳ - گروه تحقیق کمیسیون برنامه و بودجه مجلس شورای اسلامی، «نفت، کارنامه کوشش‌های پیش رو و چالش‌های فرارو»، مجلس و پژوهش، فروردین واردیبهشت ۱۳۷۲.
- ۴ - بولتن اقتصادی خبرگزاری جمهوری اسلامی ایران، ۱۳۶۸-۱۳۷۷.
- 5- OPEC Bulletin , OPEC, Vienna 1990-1998.
- 6- Argus Working Paper, Argus Energy Research Organization, London 1990-1998.
- 7- Platte Working Paper, Platte Energy Enrgy Research Organization, London 1990-1998.
- ۸ - جی. ای. پی. باکس و جی. ام. جنکینز، «تحلیل سری زمانی: پیش‌بینی و کنترل»، ترجمه

- محمد رضا مشکانی، انتشارات شهید بهشتی (دو جلد)، ۱۳۷۱.
- 9- Jenkins, J. M. and Watts. D. G. (1968), *Spectral Analysis and its Applications*, Sanfrancisco: Holdenday.
- 10- Ljung. L. (1987), *System Identification*, Prentice - Hall , Englwood, NewJersy.
- ۱۱ - داگلاس. ک. مونتگومری، لینود. ا. جانسون و جان. اس. گاردنر، «پیش‌بینی و تجزیه و تحلیل سری‌های زمانی»، ترجمه محمد فاطمی قمی، انتشارات دانش امروز، ۱۳۷۳.
- ۱۲ - جاناتان، دی، کرایر، «تجزیه و تحلیل سری‌های زمانی»، ترجمه حسینعلی نیرومند، انتشارات دانشگاه فردوسی مشهد، ۱۳۷۱.
- ۱۳ - سی. چتفیلد، مقدمه‌ای بر سری‌های زمانی، ترجمه حسینعلی نیرومند و ابوالقاسم بزرگ‌نیا، انتشارات دانشگاه فردوسی مشهد، ۱۳۷۲.
- 14 - Economist Magazin , 1990-1998.